

**Атлас сечений  
парциальных и полных фотонейтронных реакций,  
оцененных в рамках  
экспериментально-теоретического метода  
с использованием  
физических критериев достоверности данных**

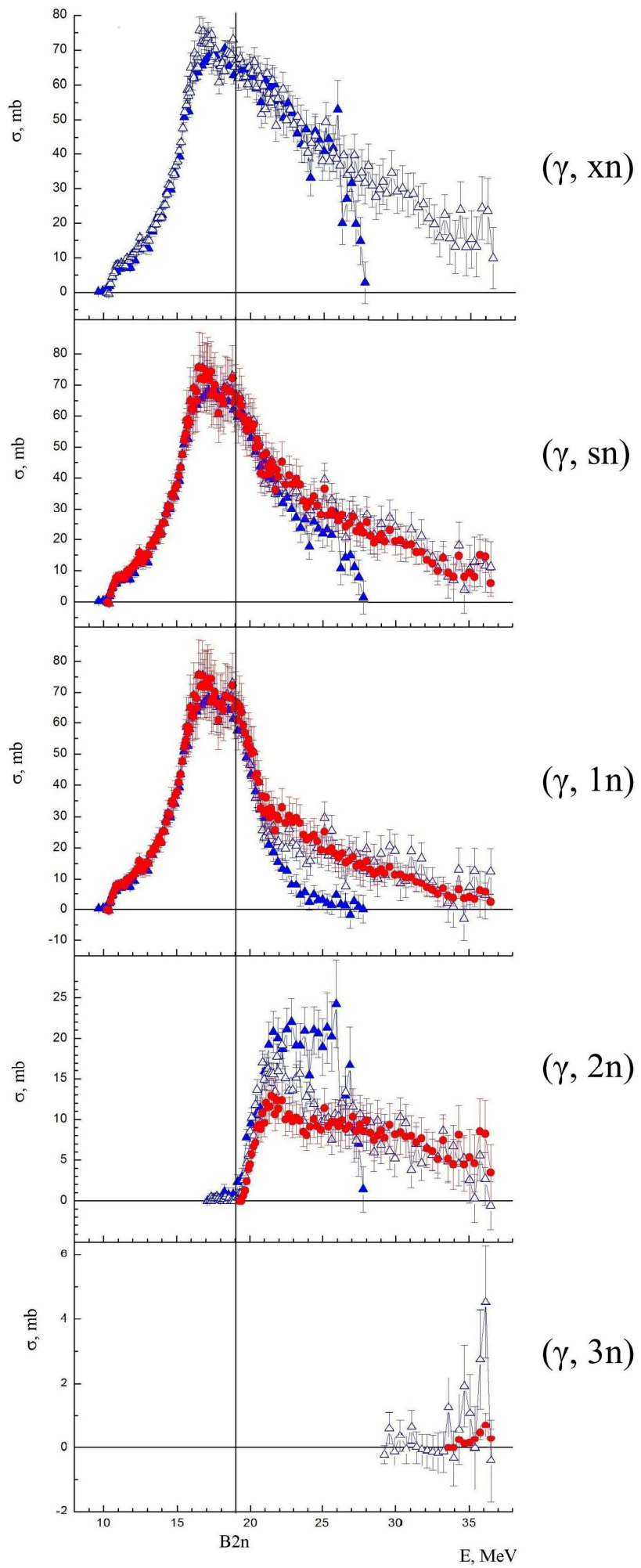
Сечения парциальных ( $\gamma$ , 1n), ( $\gamma$ , 2n) и ( $\gamma$ , 3n) и полных ( $\gamma$ , sn) = ( $\gamma$ , 1n)+( $\gamma$ , 2n)+( $\gamma$ , 3n) и ( $\gamma$ , xn) = ( $\gamma$ , 1n)+2( $\gamma$ , 2n)+3( $\gamma$ , 3n) реакций, оцененных с помощью экспериментально-теоретического метода с использованием объективных физических критериев достоверности данных (кружки), приводятся в сравнении с экспериментальными данными Ливермора (синие заполненные треугольники) и Сакле (черные заполненные квадраты).

В тех случаях, когда к анализу и оценке привлекались результаты нескольких экспериментов, выполненных в Ливерморе и Сакле, дополнительные результаты приводятся с помощью открытых синих треугольников и черных квадратов, соответственно.

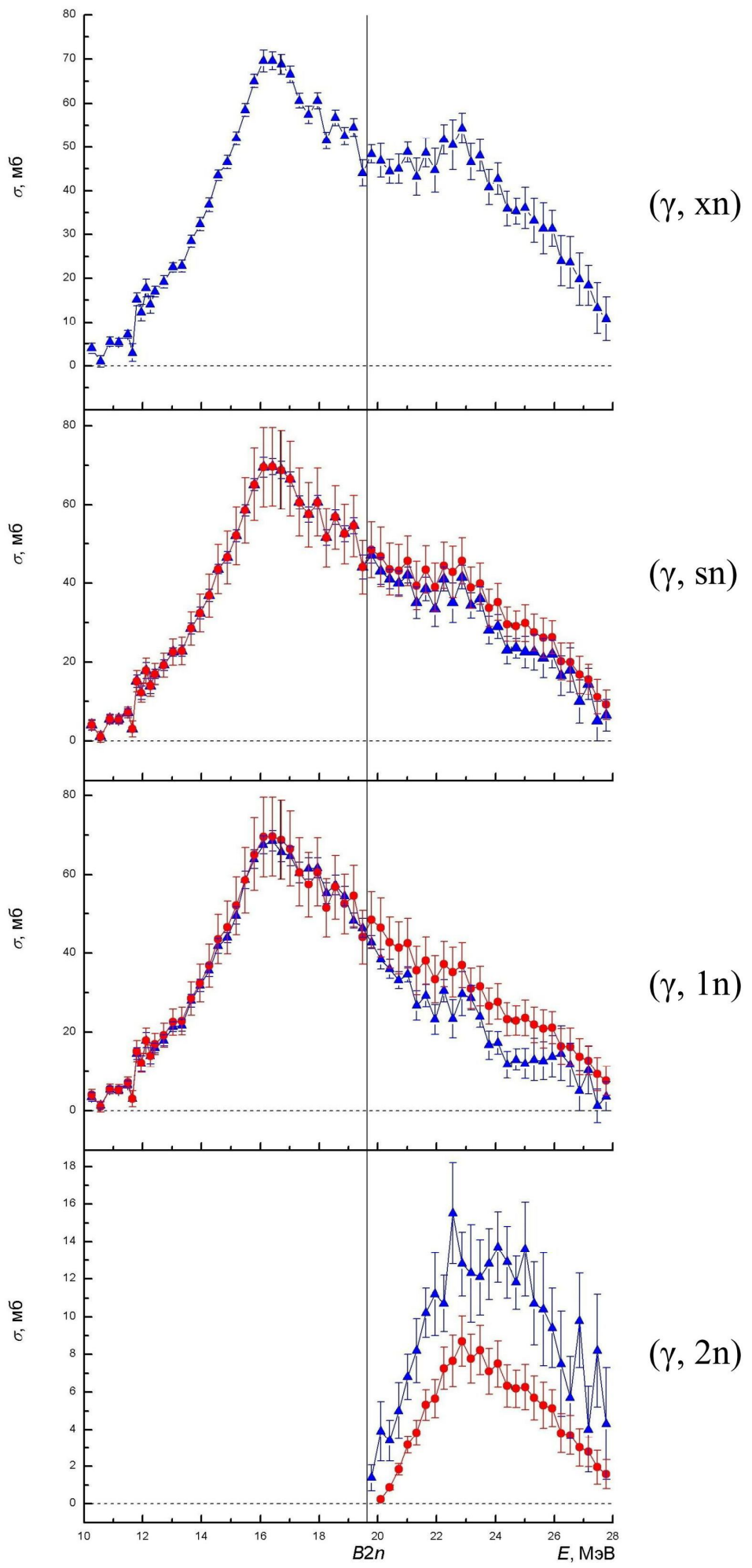
Для некоторых ядер дополнительно представлены (зеленые пятиугольники) экспериментальные данные для реакции выхода нейtronов (1), полученные в экспериментах на пучках тормозного  $\gamma$ -излучения.

Практически на всех рисунках указаны (вертикальные линии с соответствующими обозначениями) энергетические пороги B2n и B3n реакций ( $\gamma$ , 2n) и ( $\gamma$ , 3n), соответственно, а в некоторых случаях относительно легких ядер – пороги B1n1p реакций ( $\gamma$ , 1n1p).

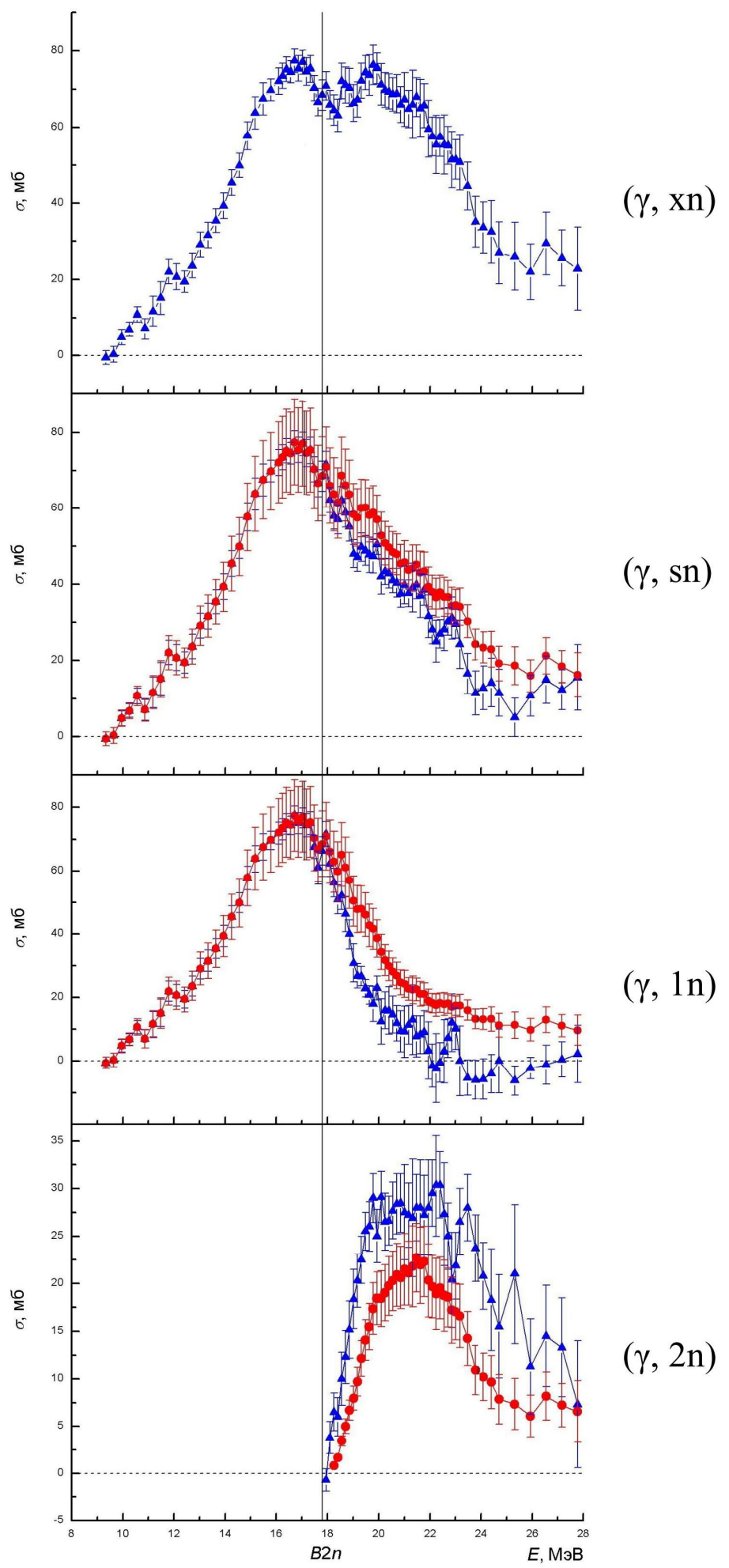
$^{59}_{27}\text{Co}$



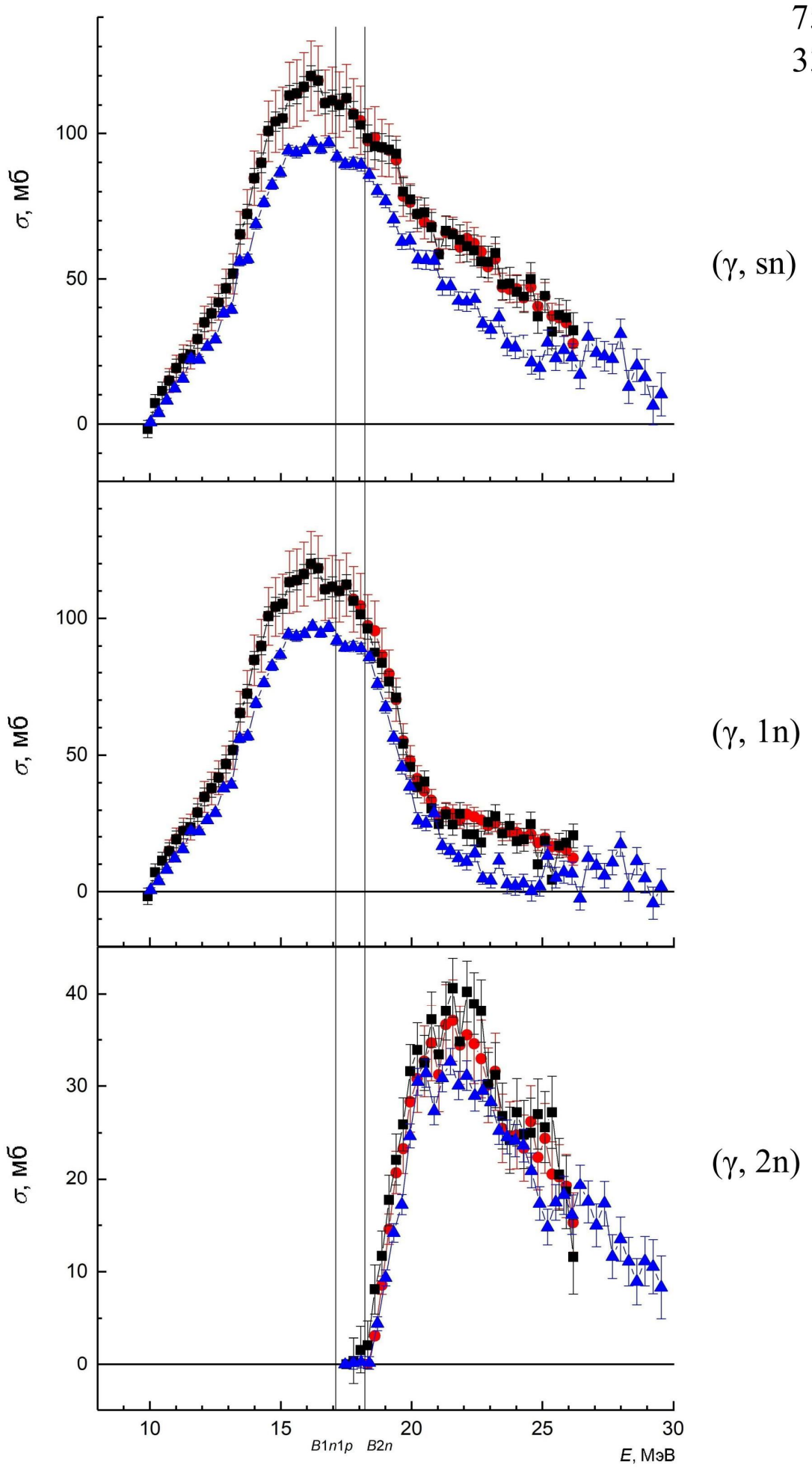
$^{63}_{29}\text{Cu}$



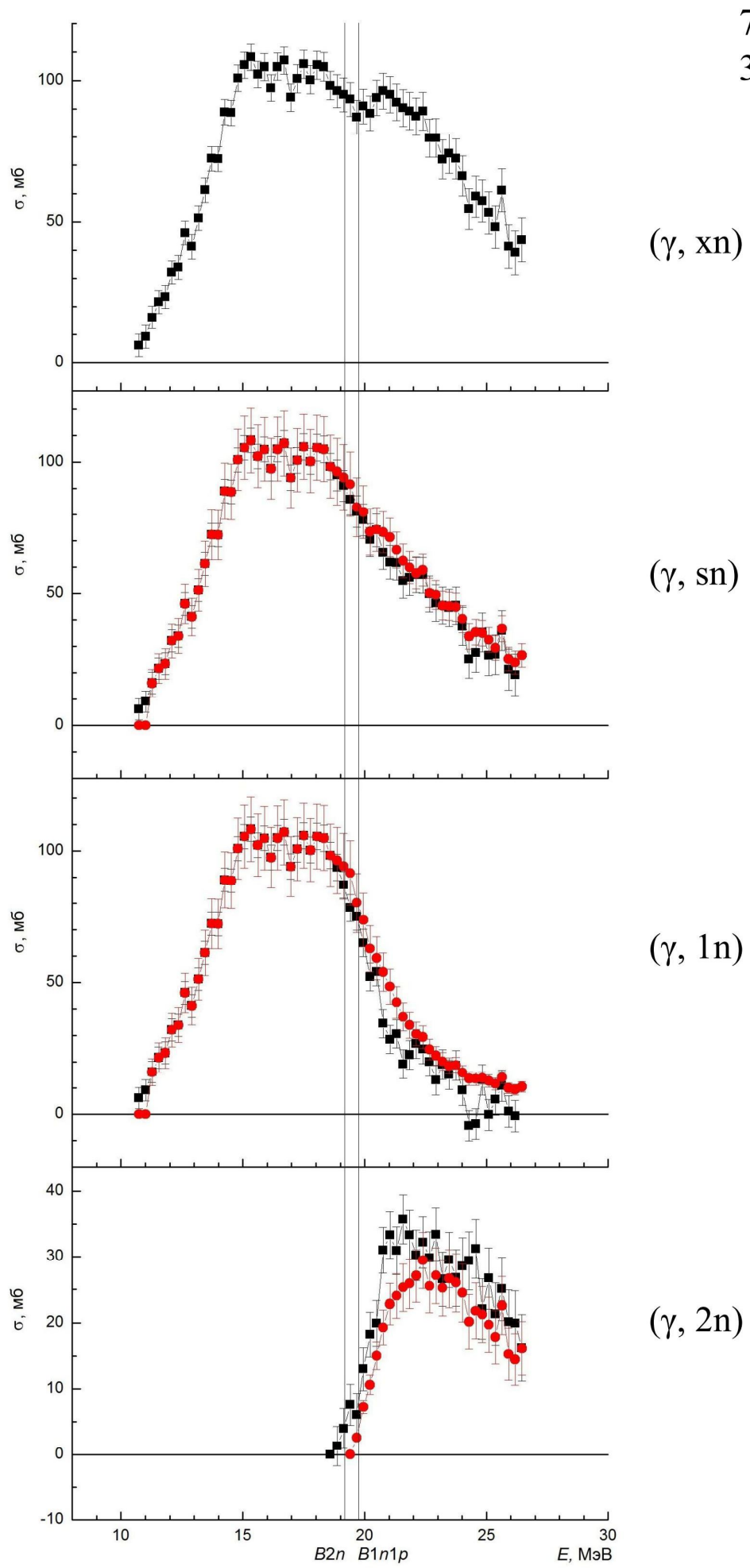
$^{65}_{29}\text{Cu}$



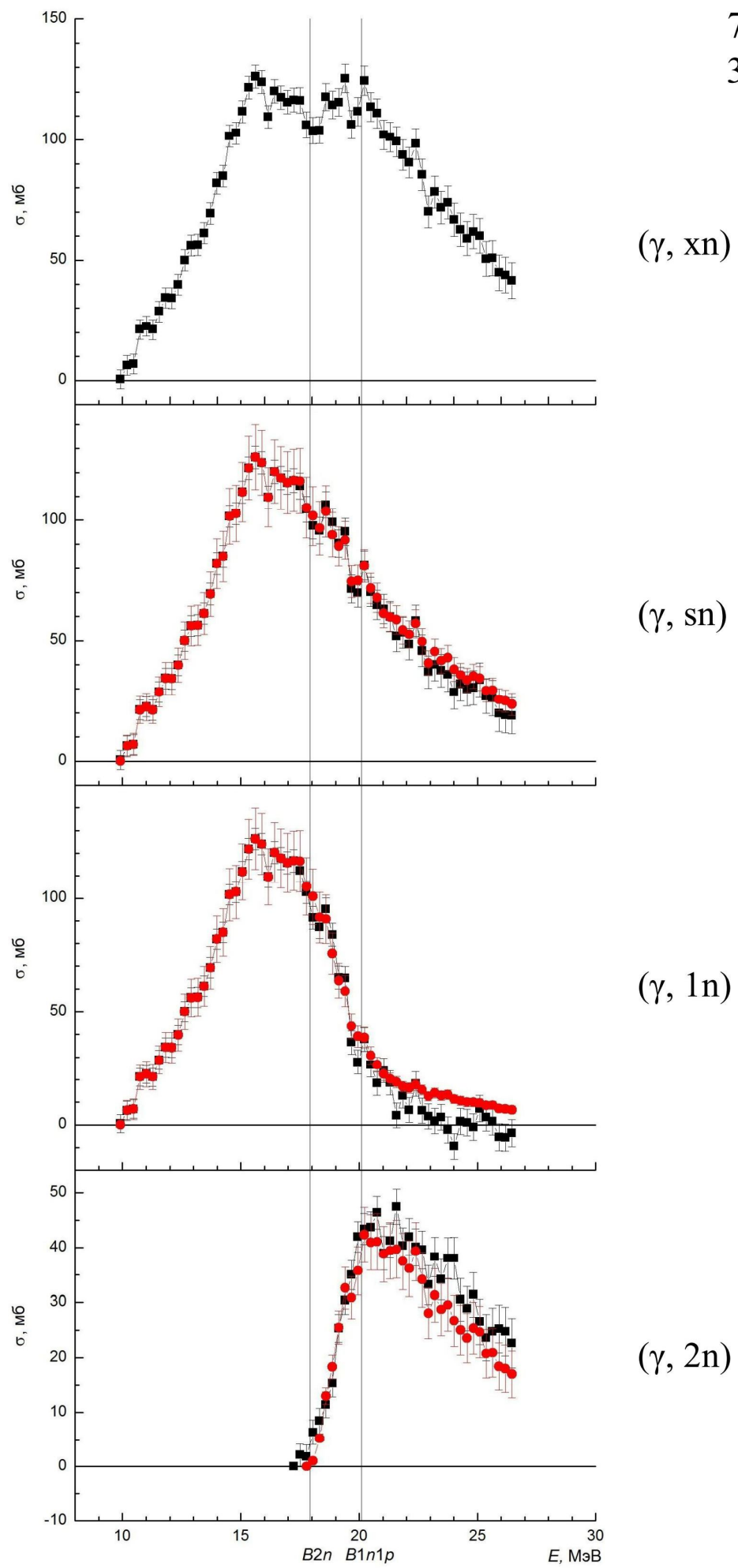
$^{75}_{33}\text{As}$



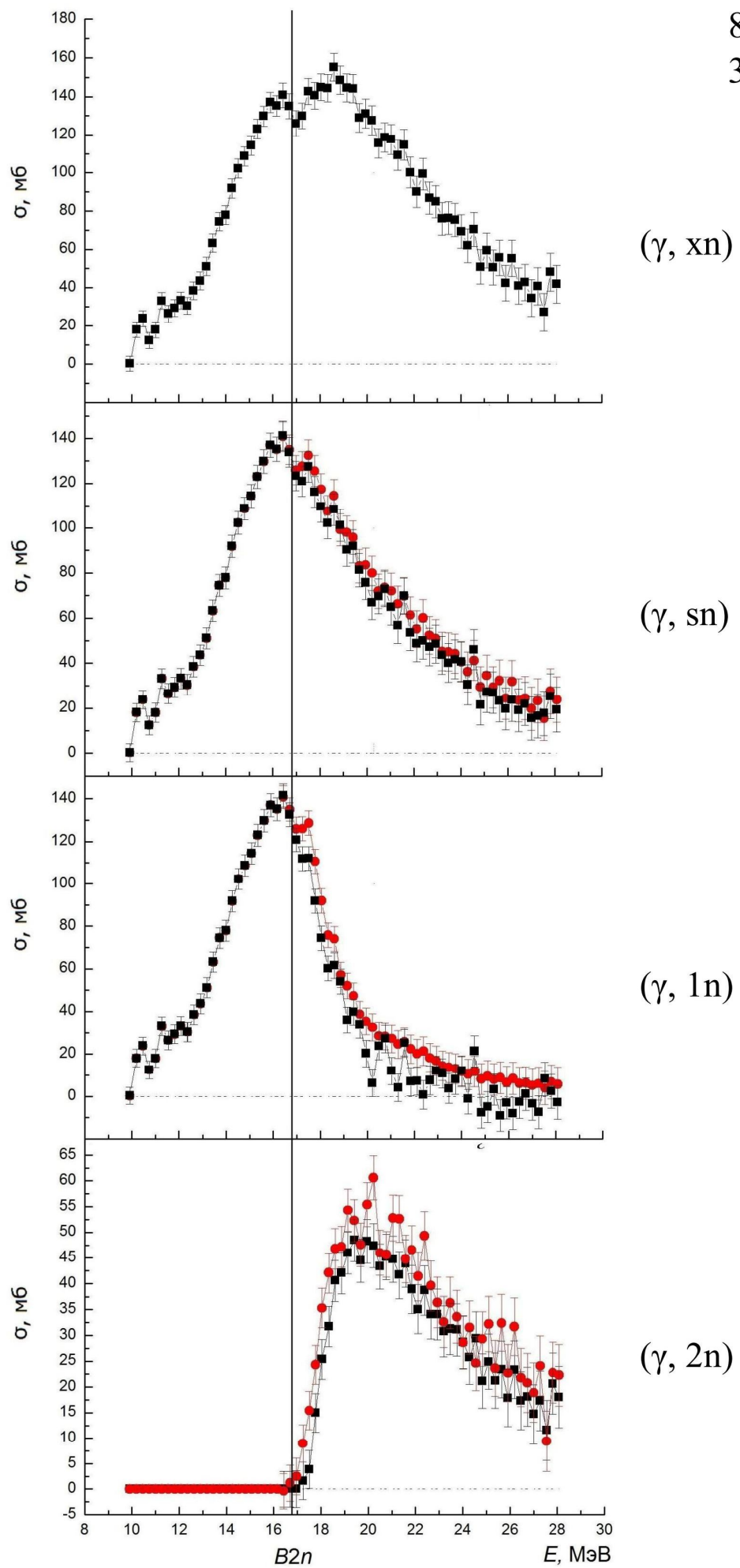
$^{76}_{34}\text{Se}$



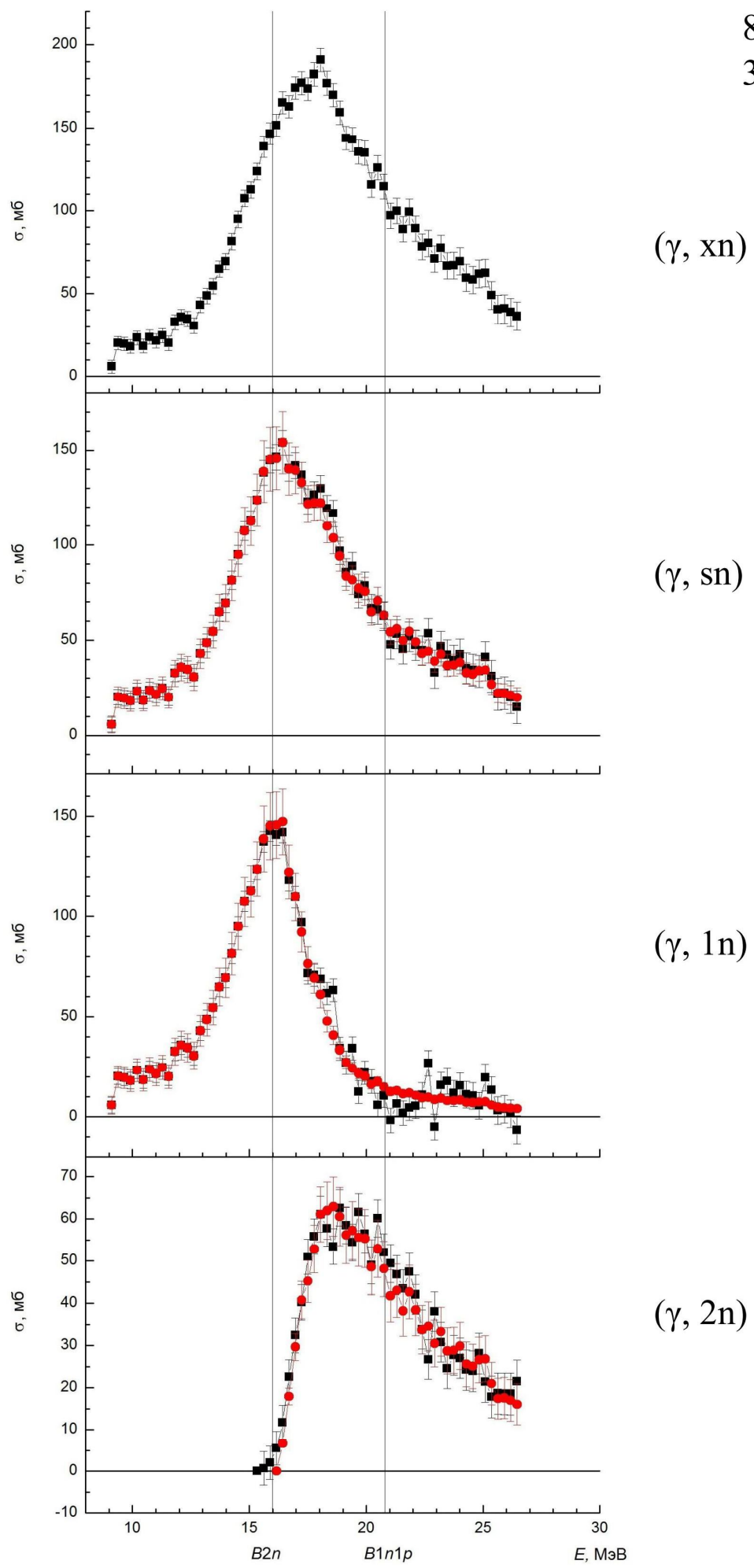
$^{78}_{34}\text{Se}$



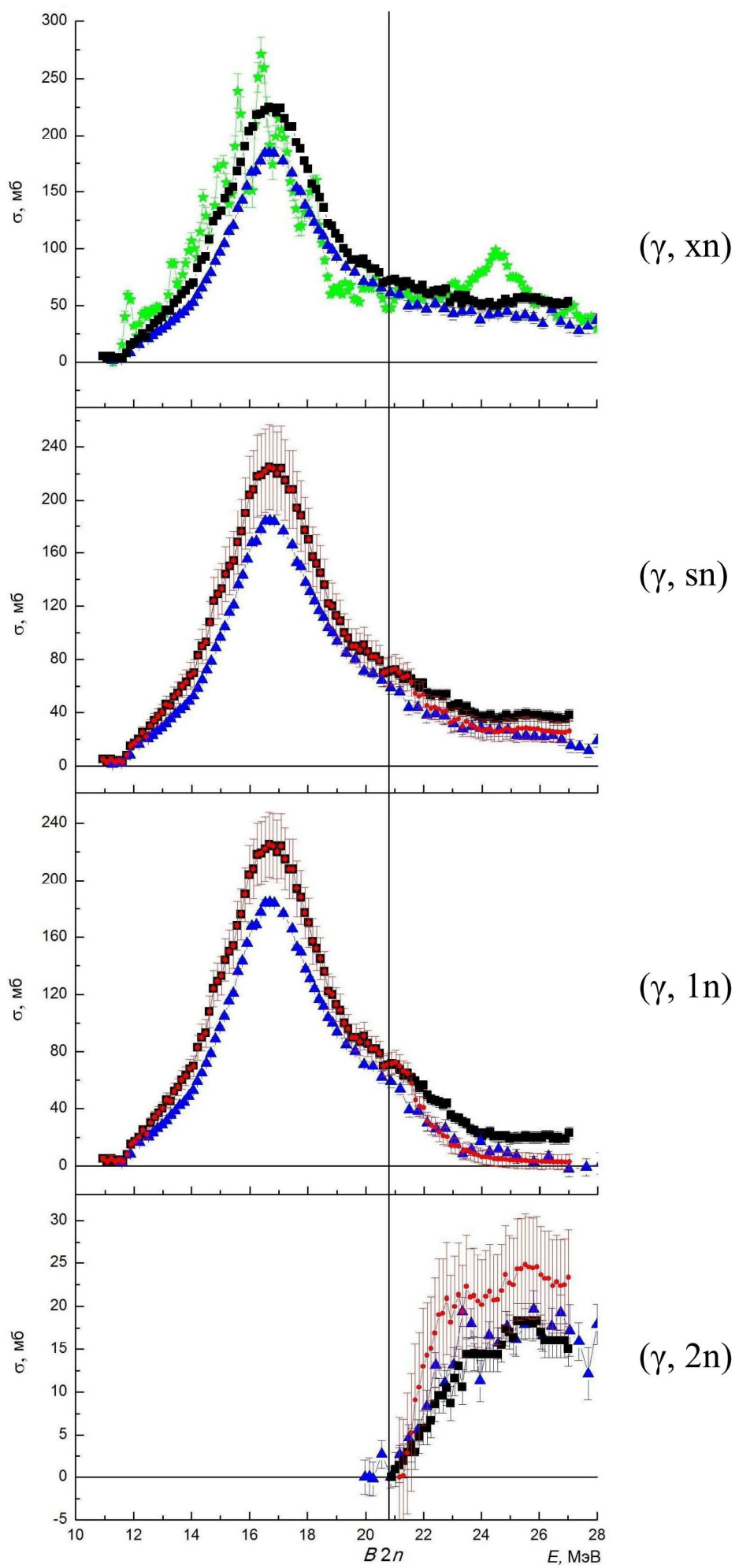
$^{80}_{34}\text{Se}$



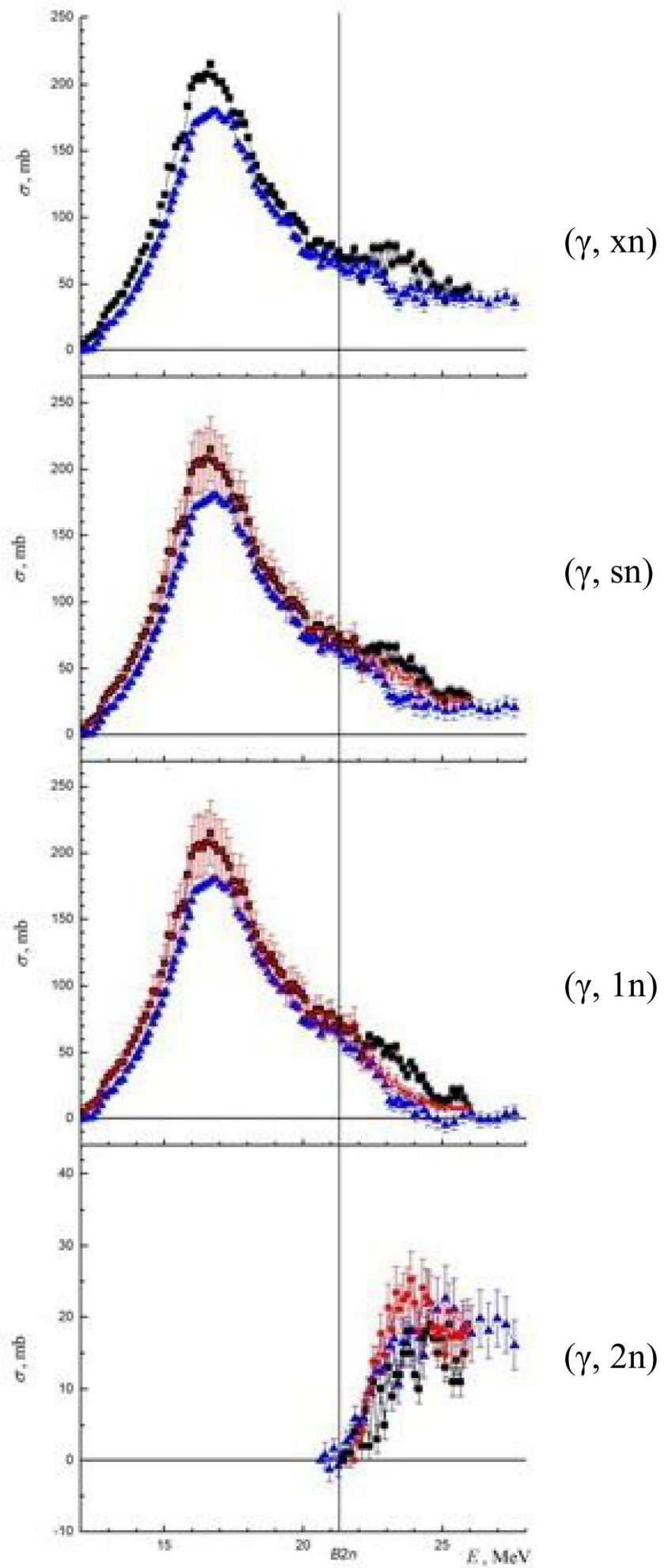
$^{82}_{34}\text{Se}$

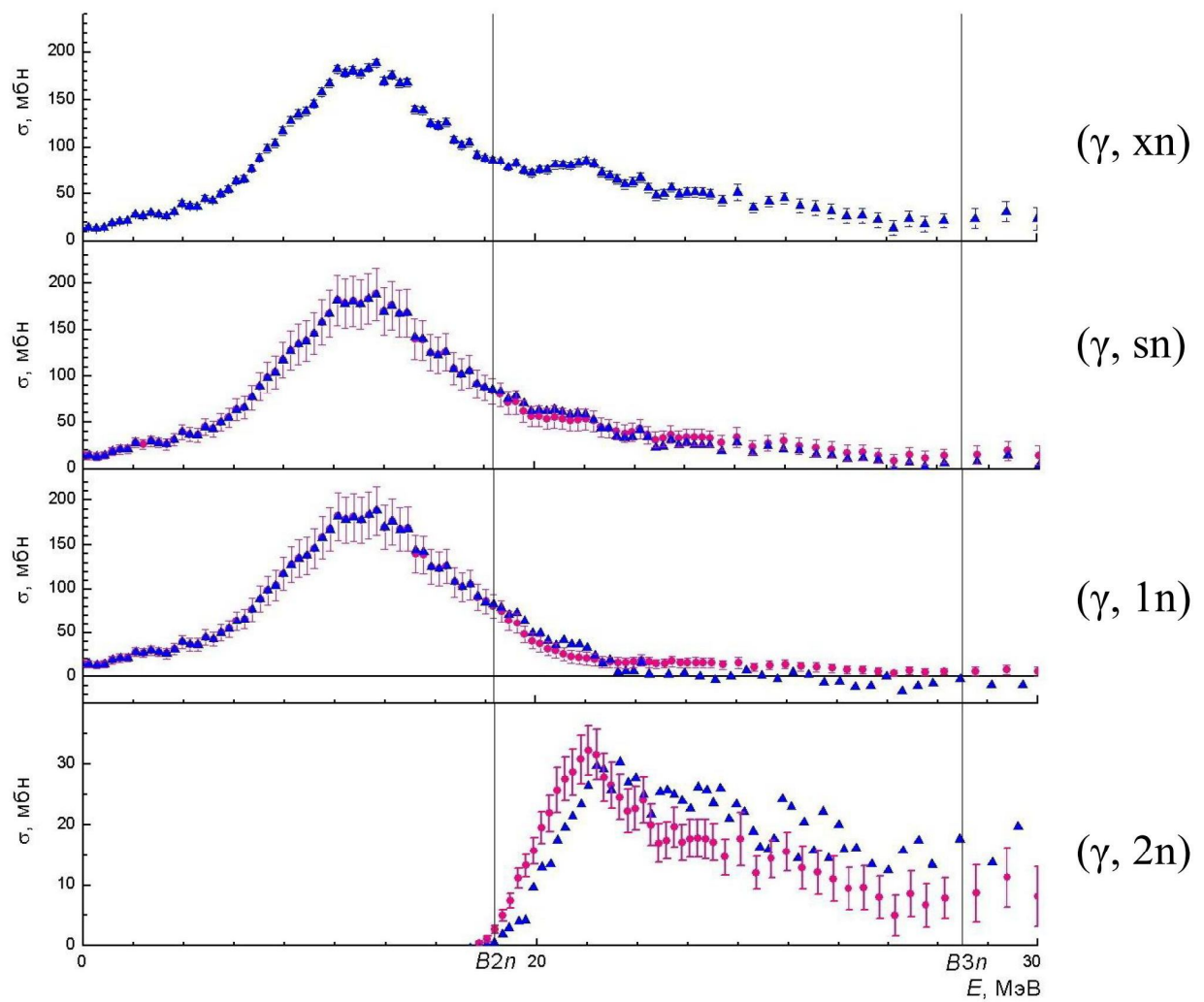


$^{89}_{39}\text{Y}$

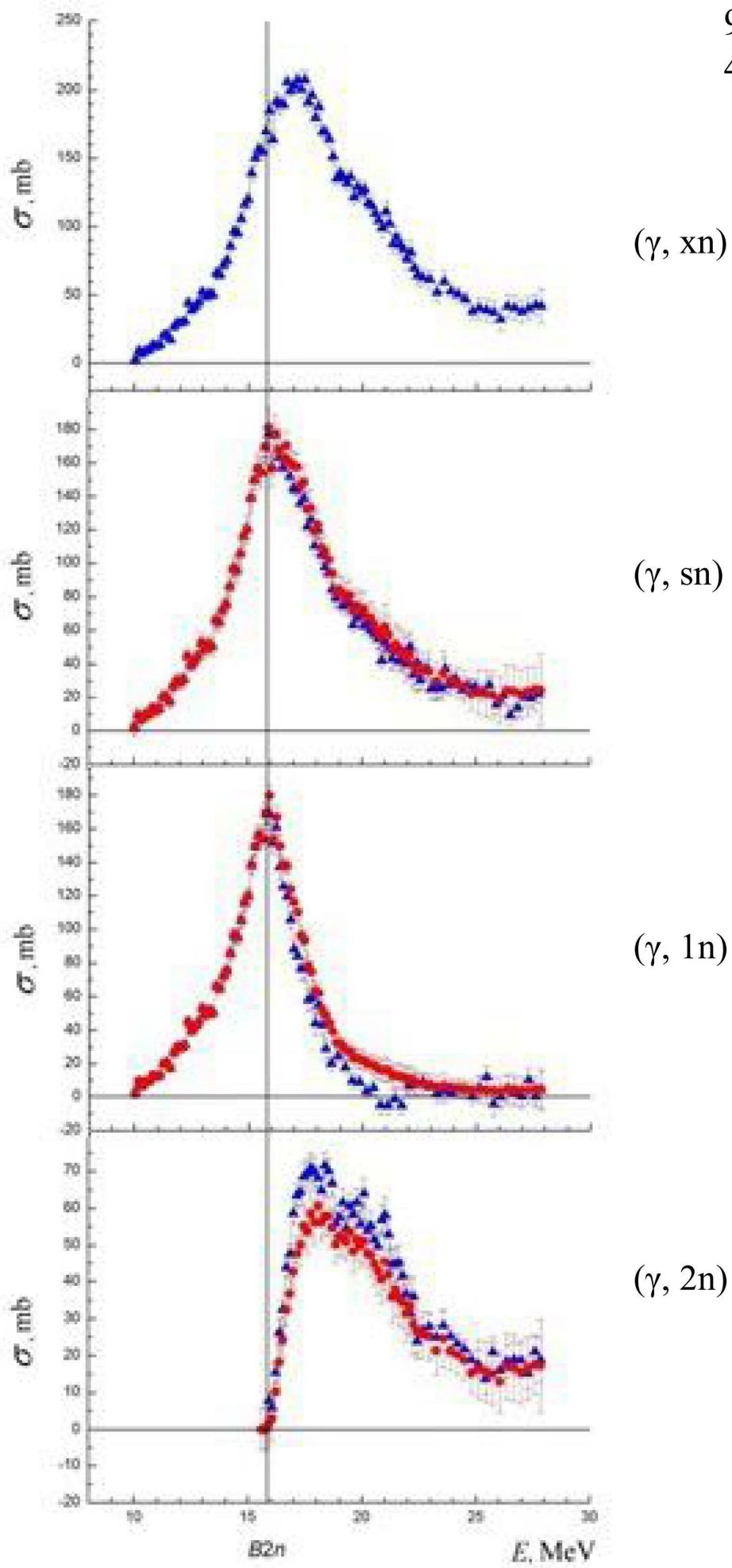


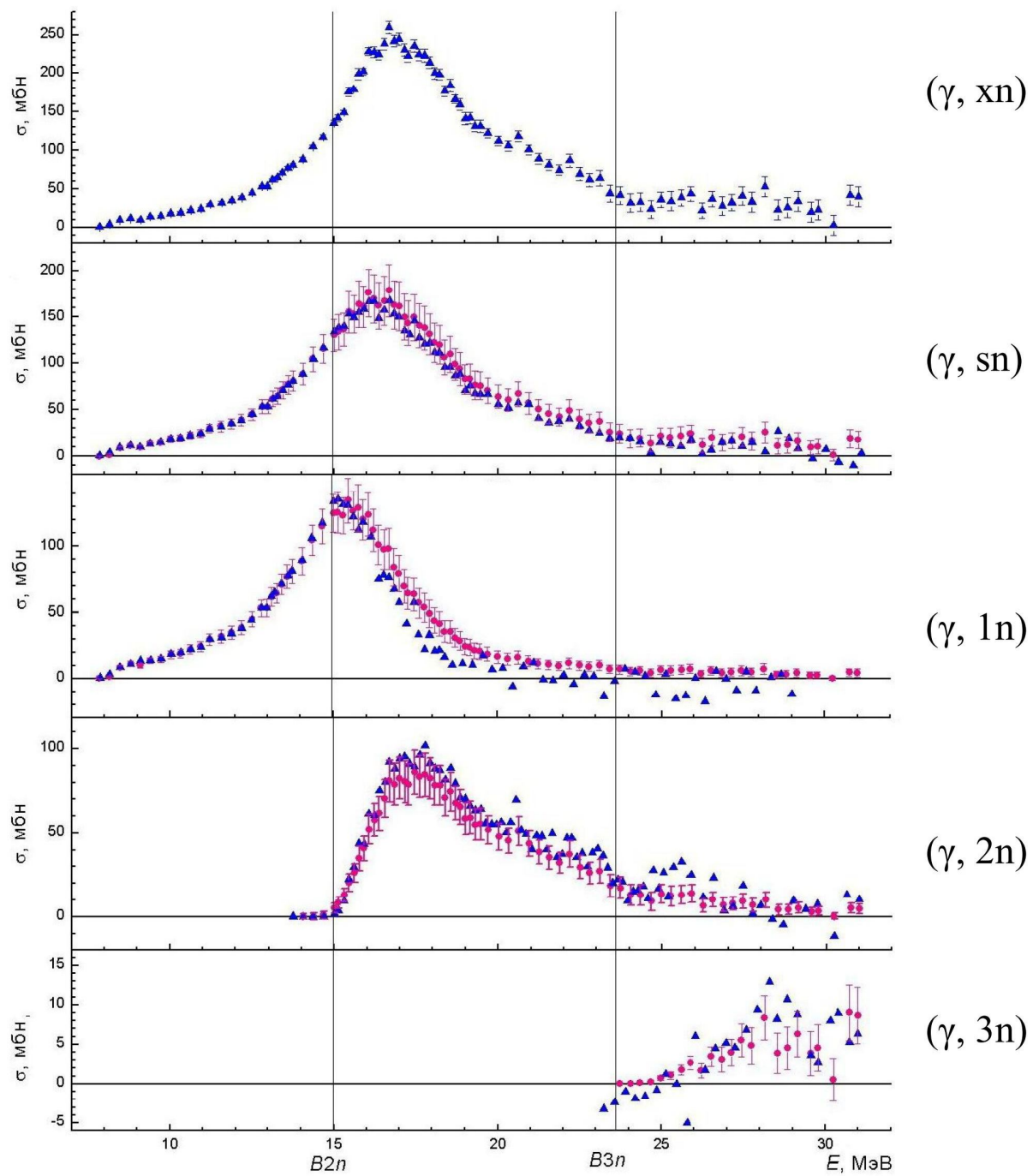
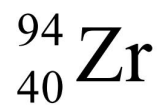
$^{90}_{40}\text{Zr}$



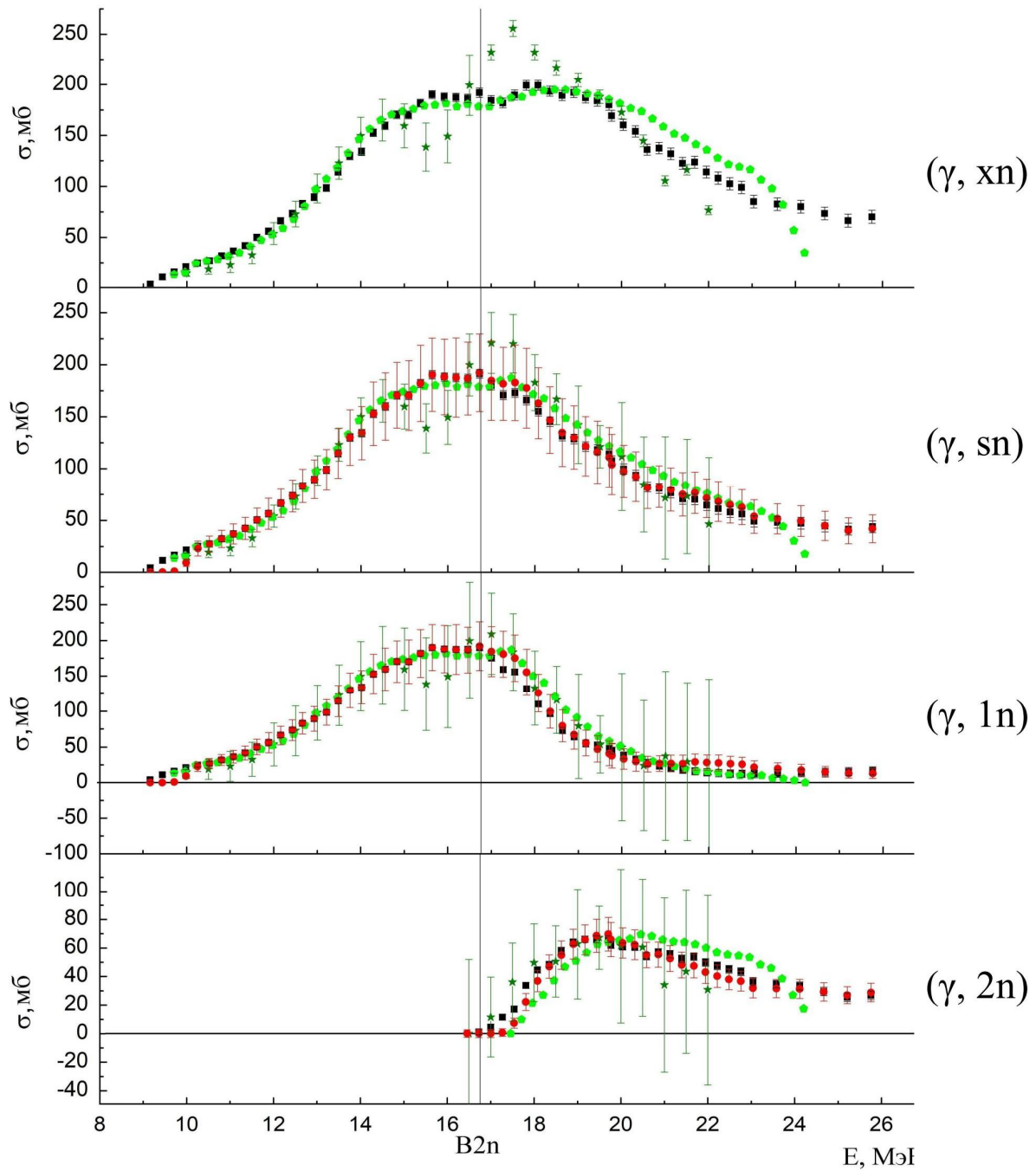


$^{92}_{40}\text{Zr}$

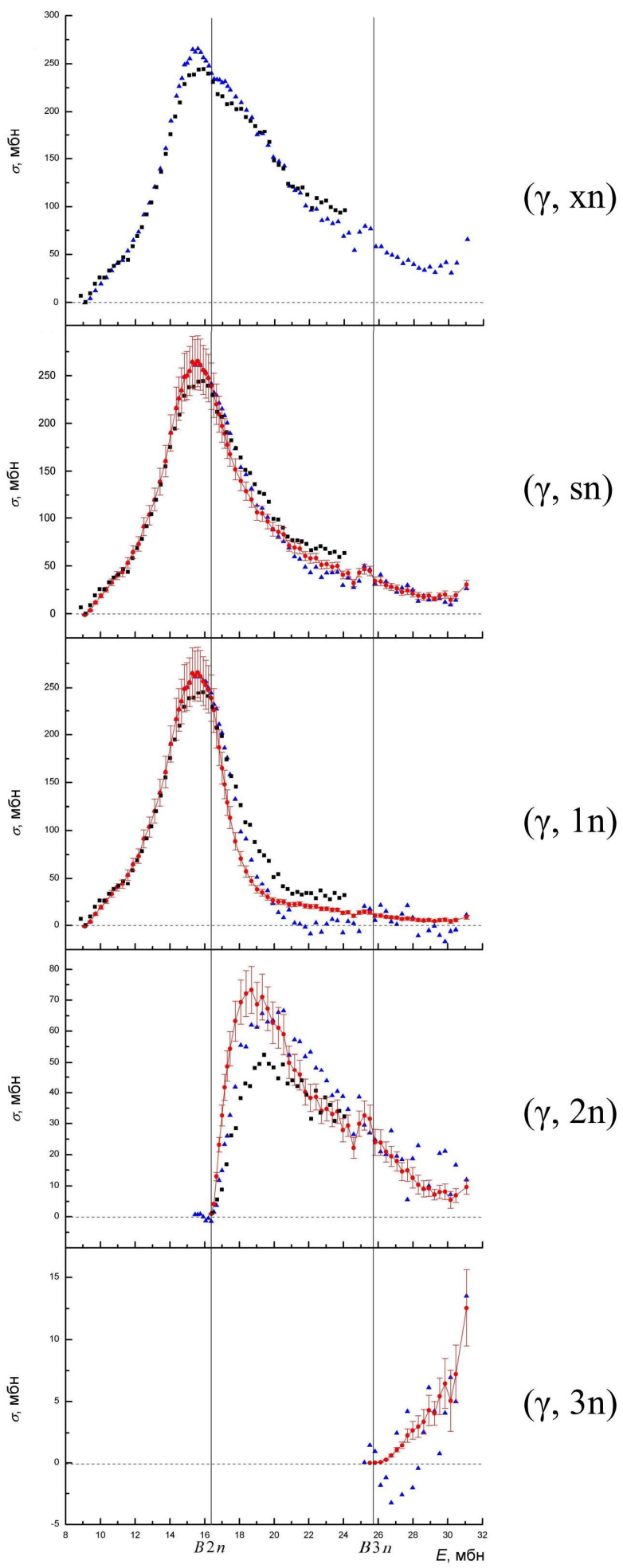


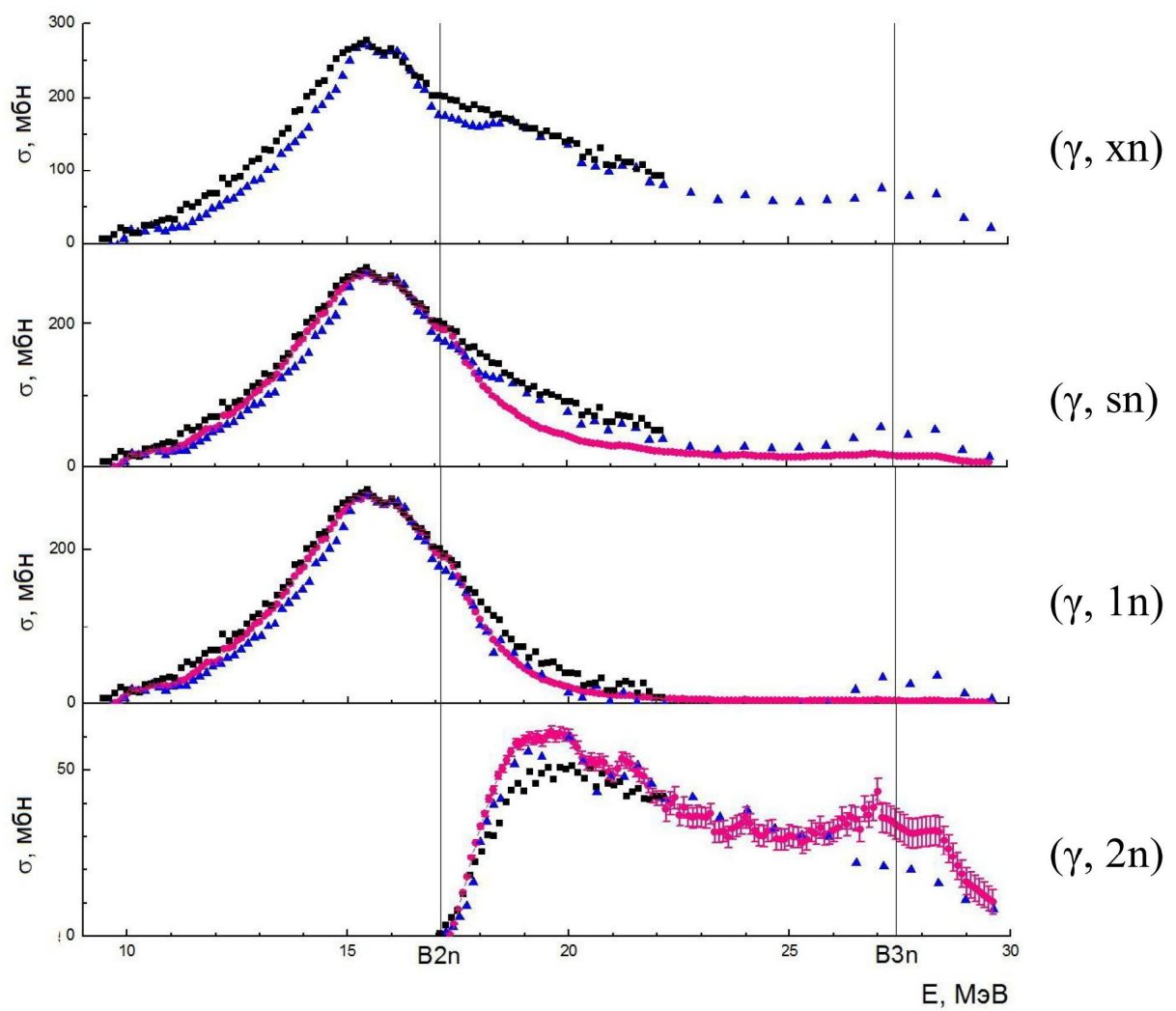


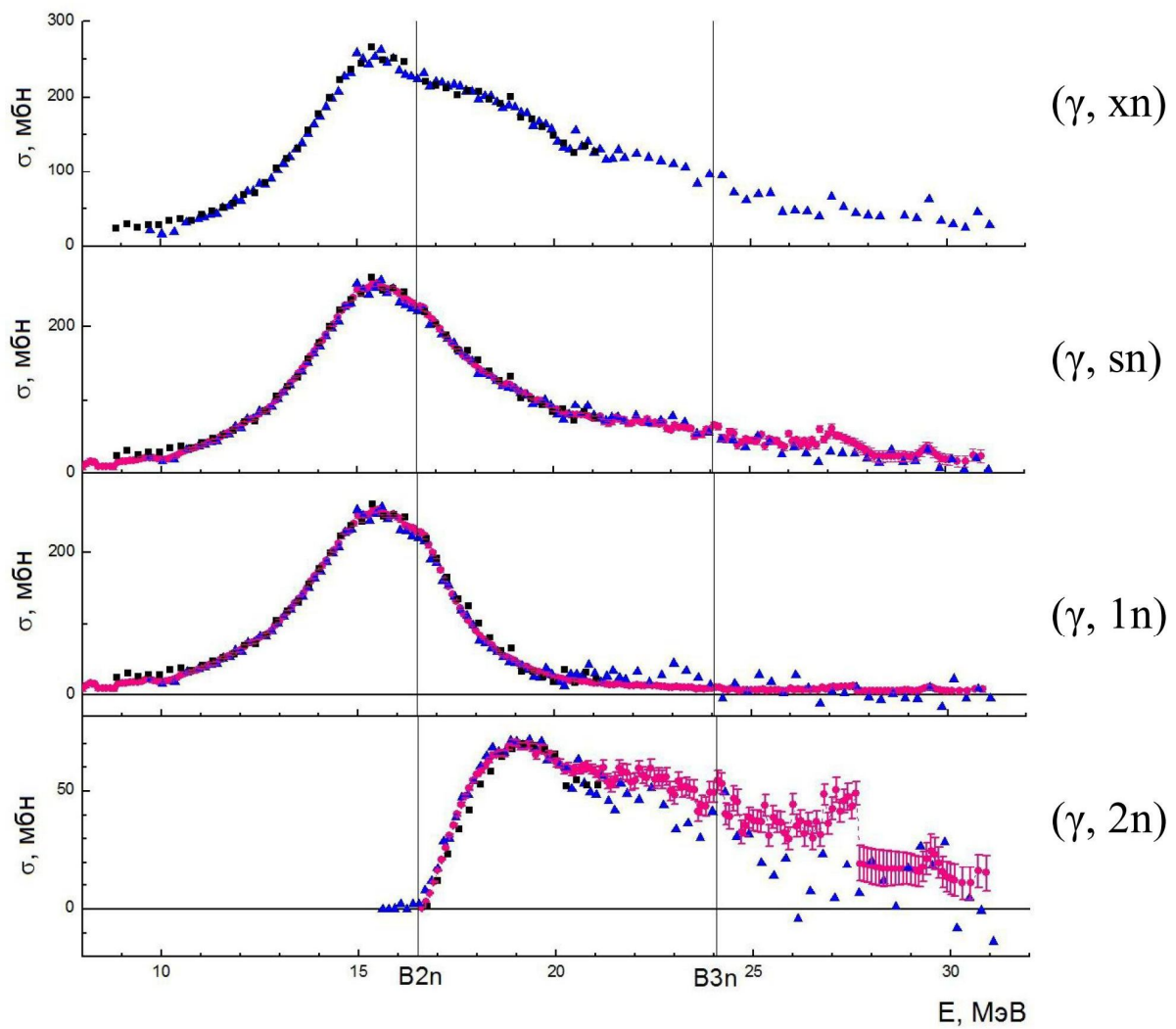
$^{103}_{45}\text{Rh}$



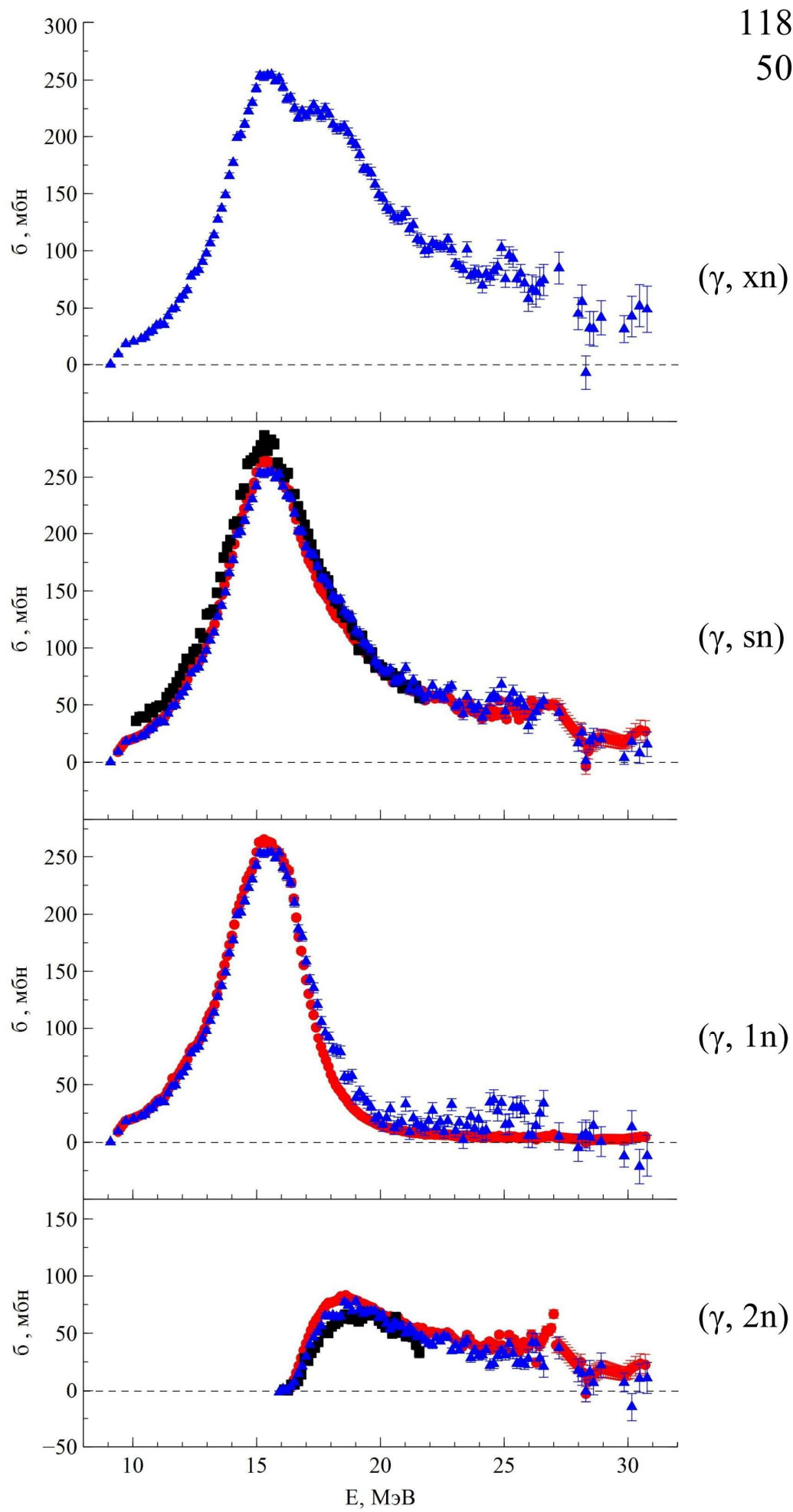
$^{115}_{49}\text{In}$



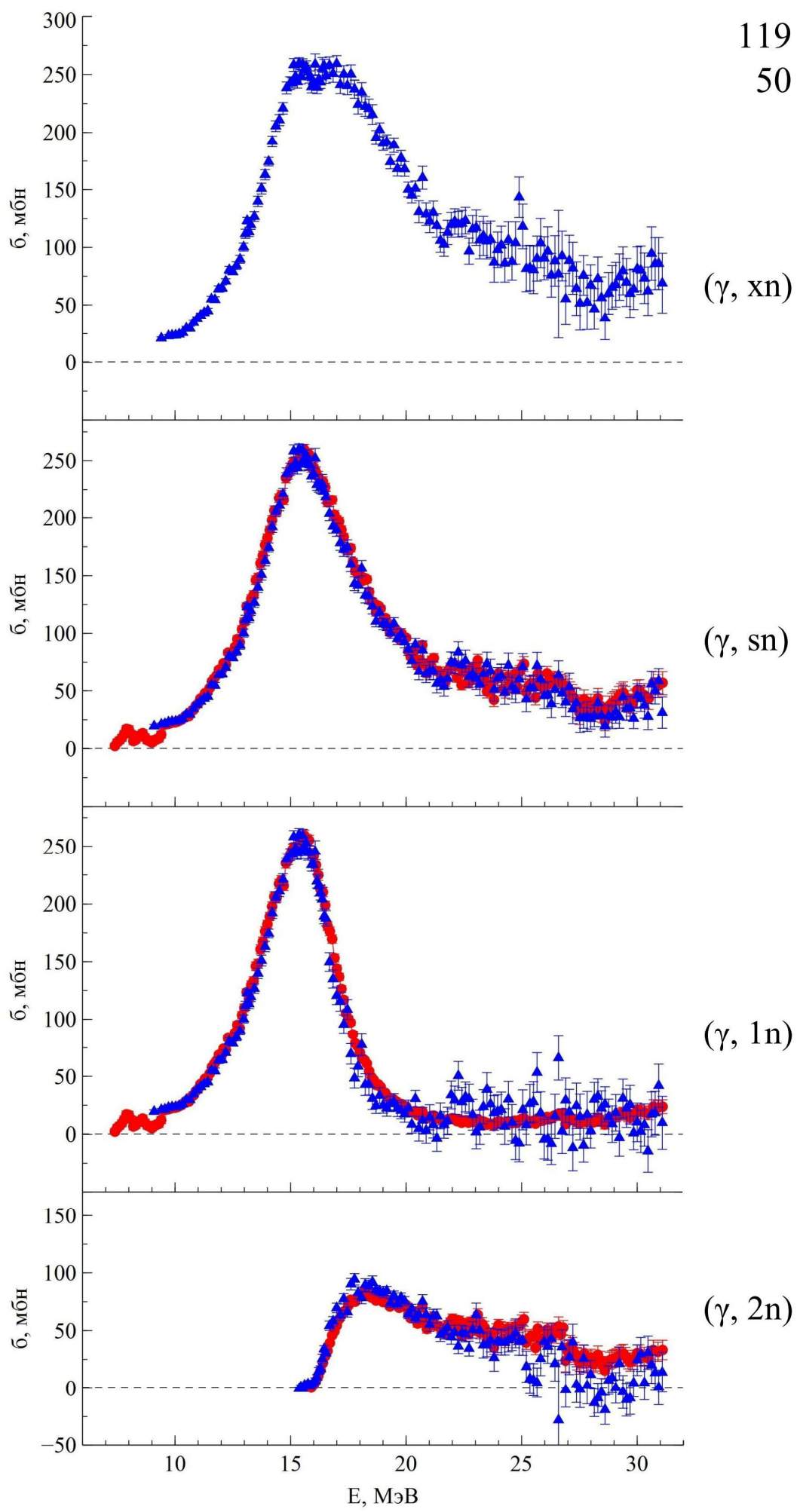
$$^{116}_{50}\text{Sn}$$


$$^{117}_{50}\text{Sn}$$


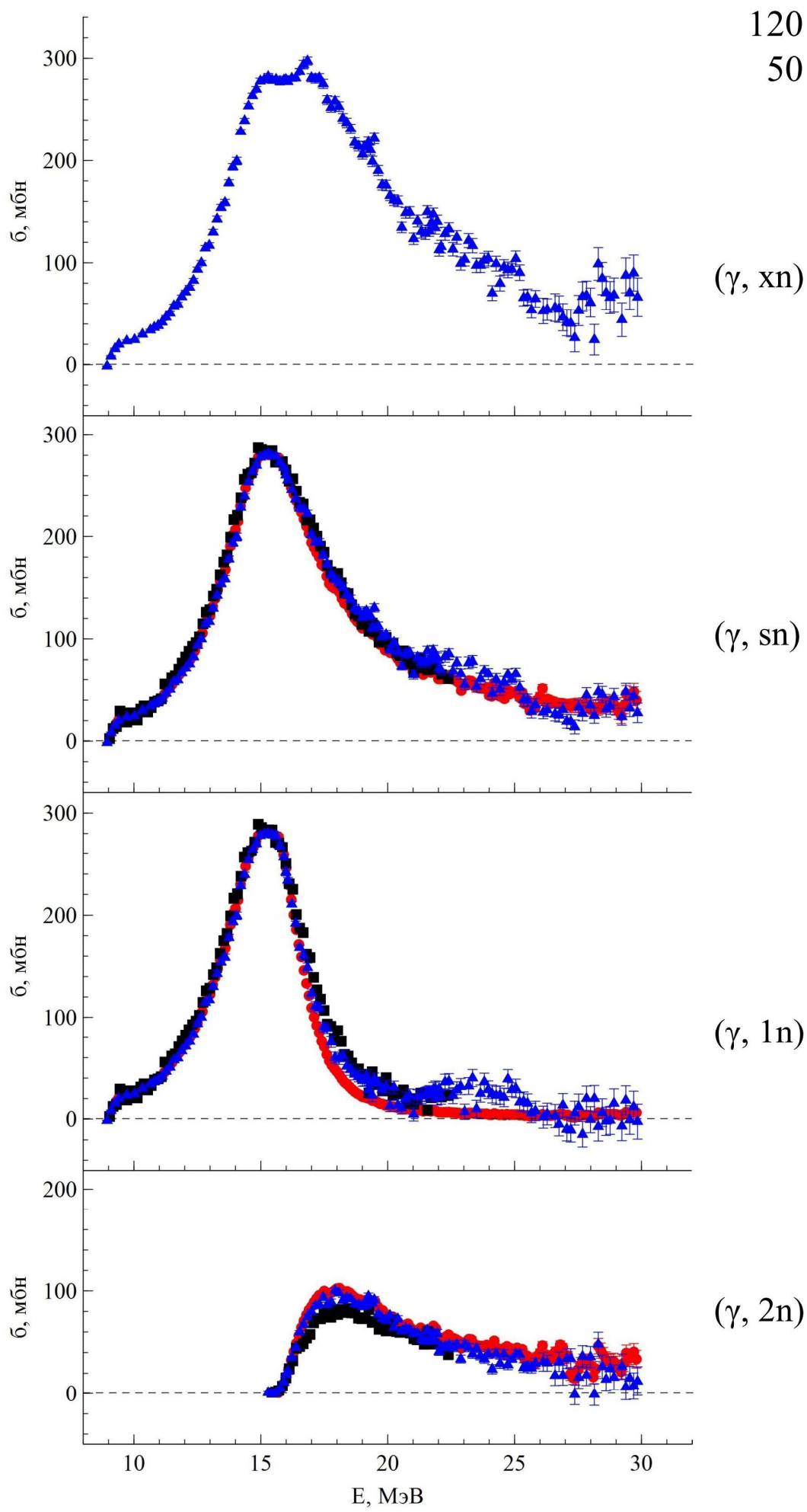
$^{118}_{50}\text{Sn}$



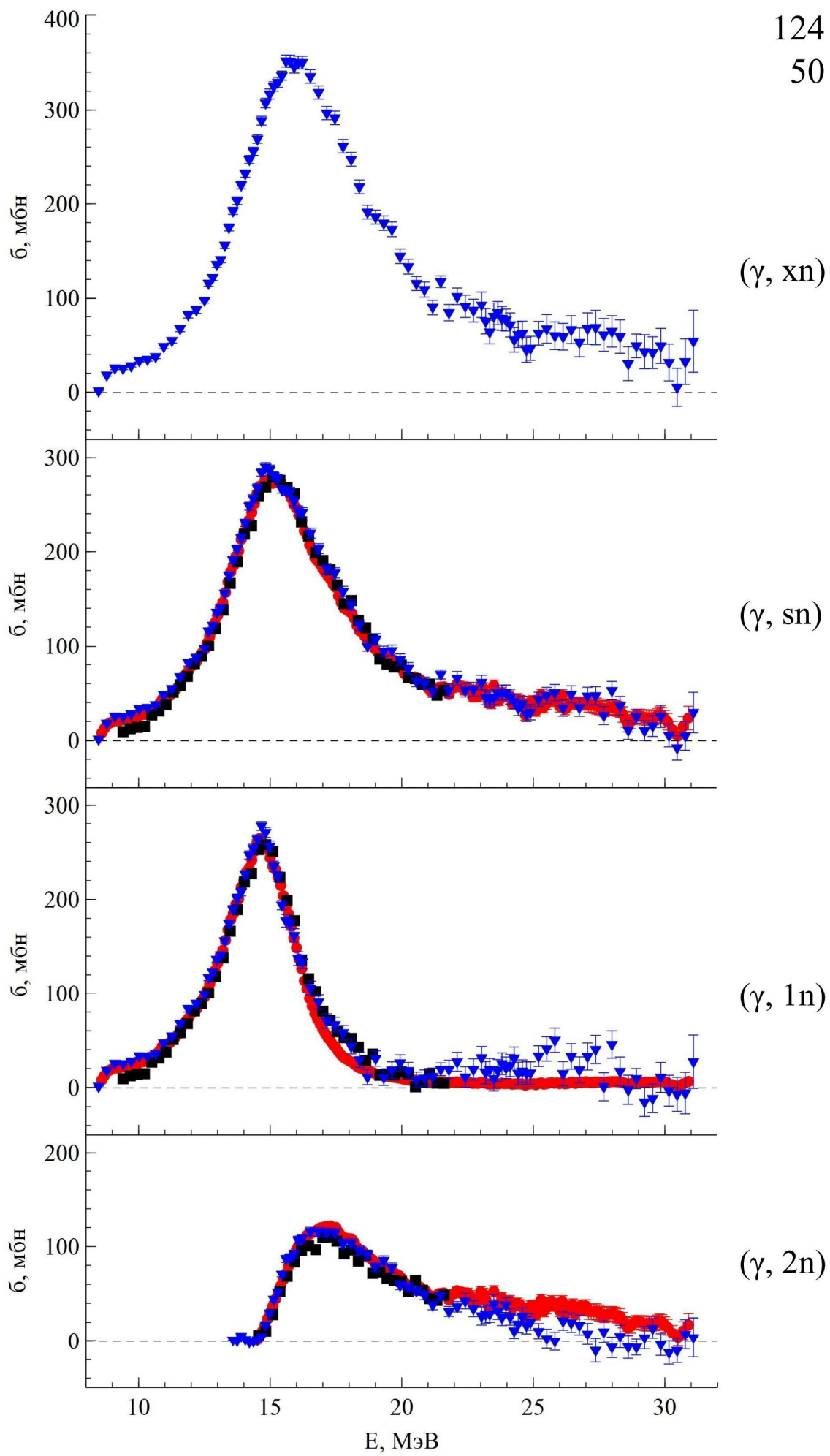
$^{119}_{50}\text{Sn}$



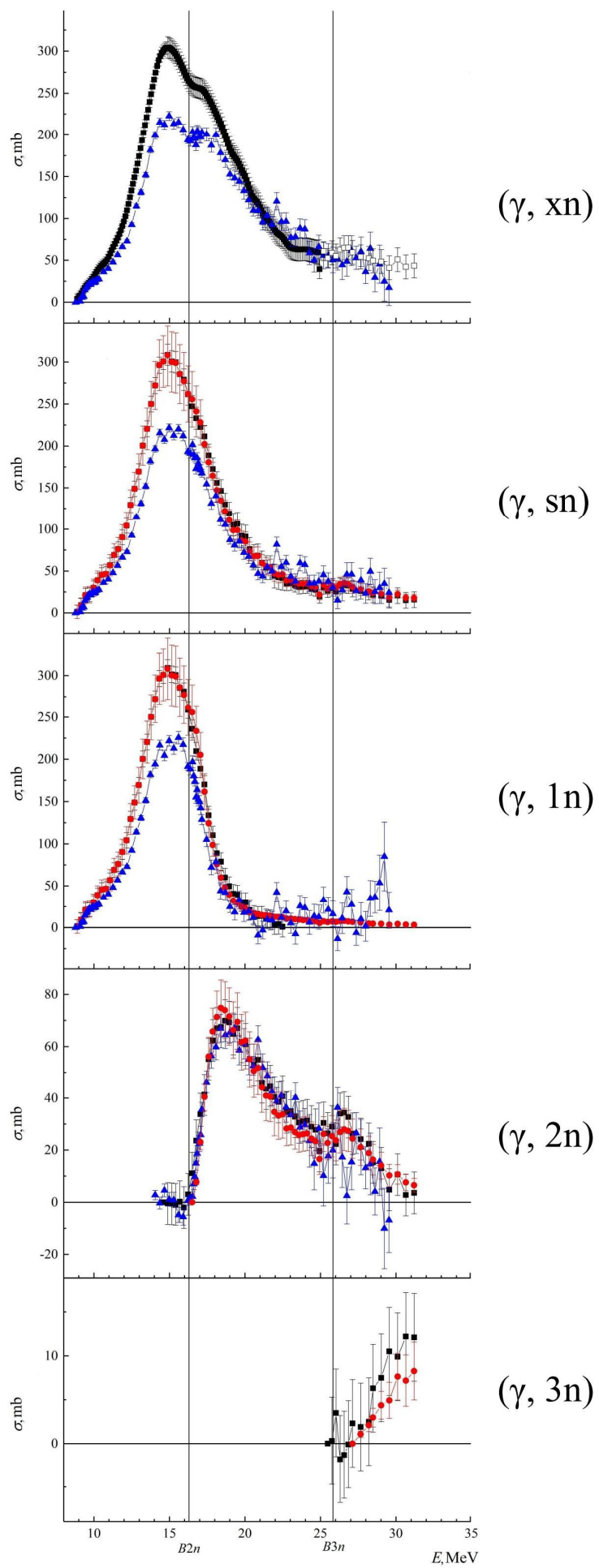
$^{120}_{50}\text{Sn}$



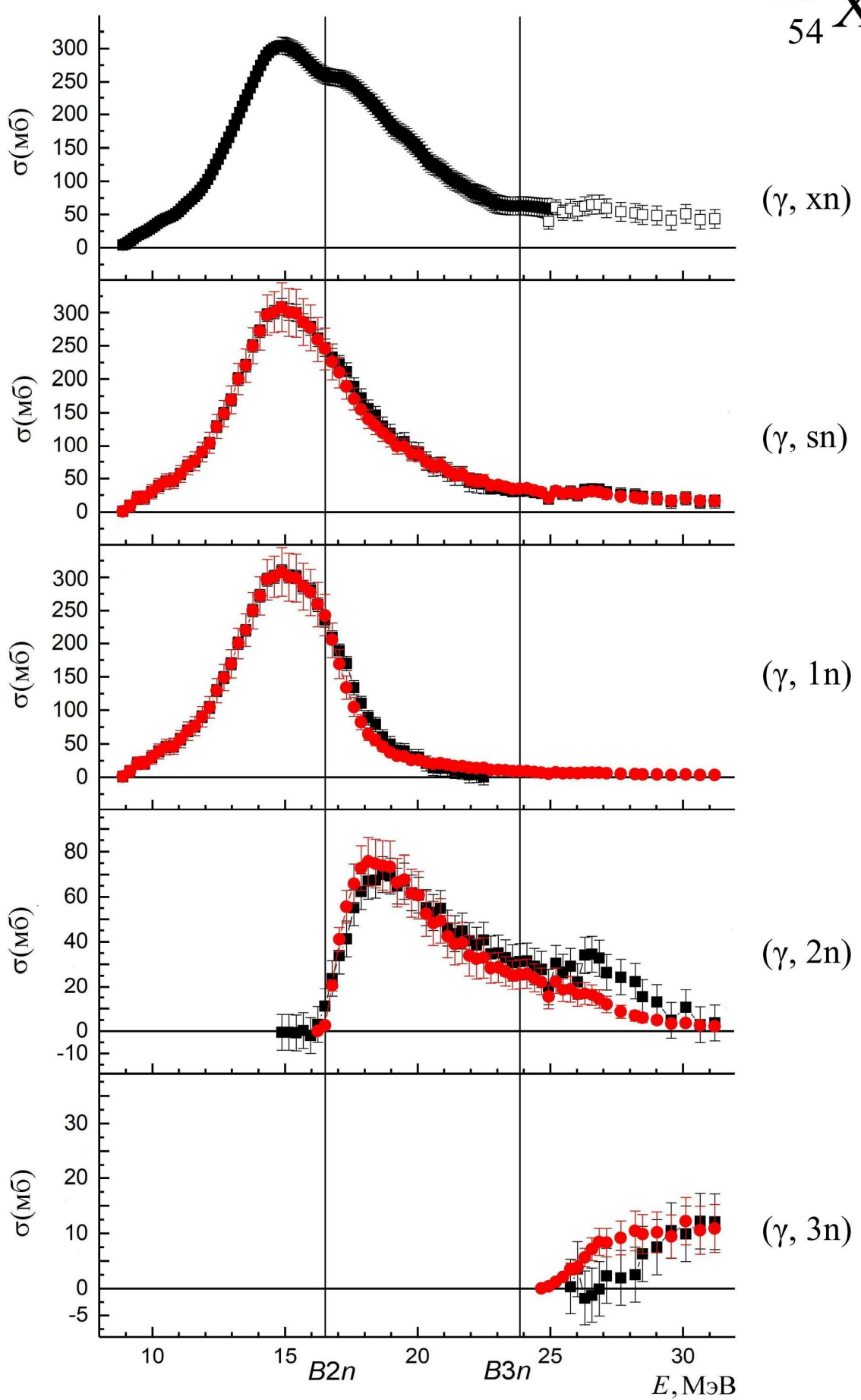
$^{124}_{50}\text{Sn}$

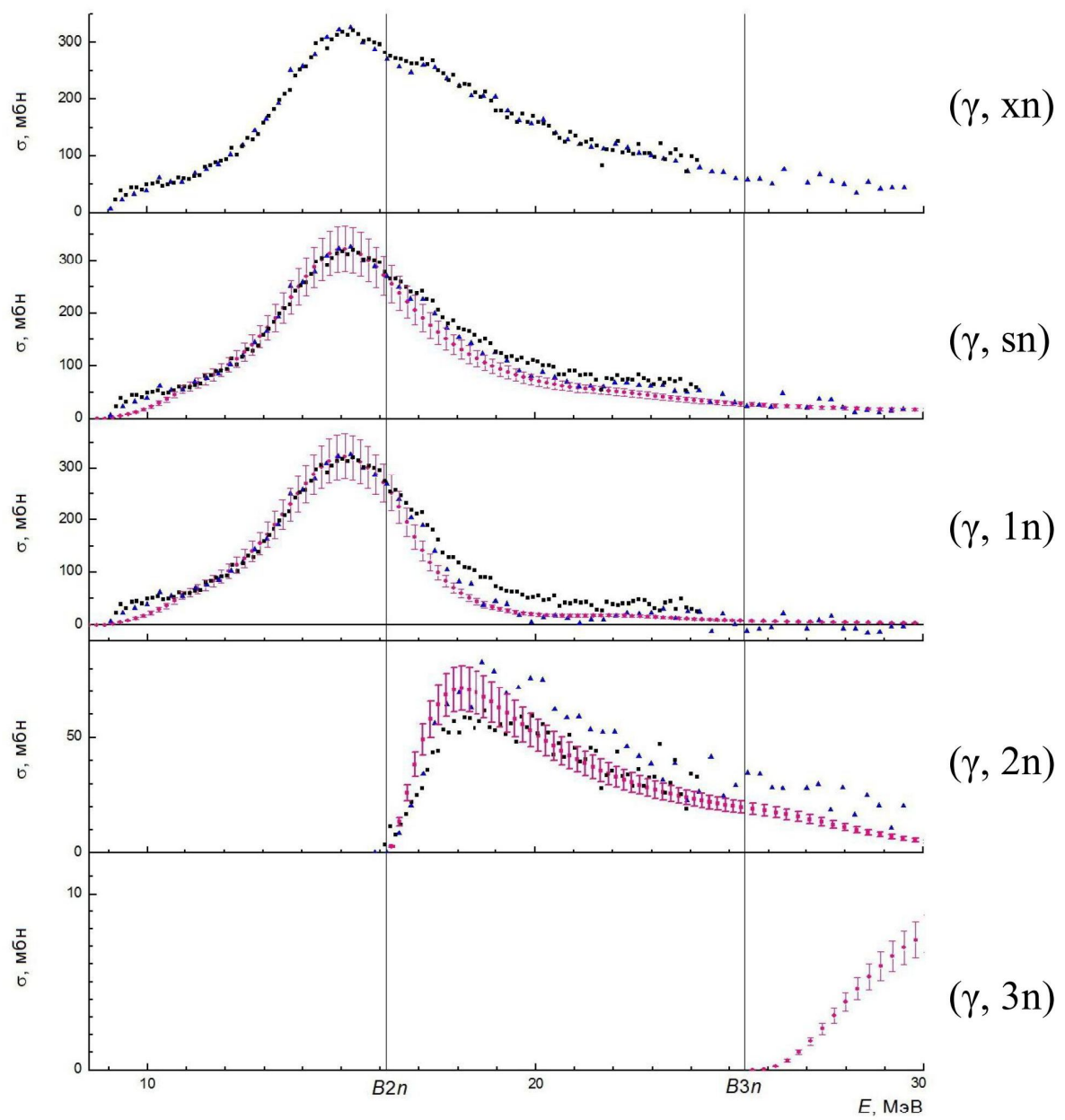


$^{127}_{\Lambda} I$

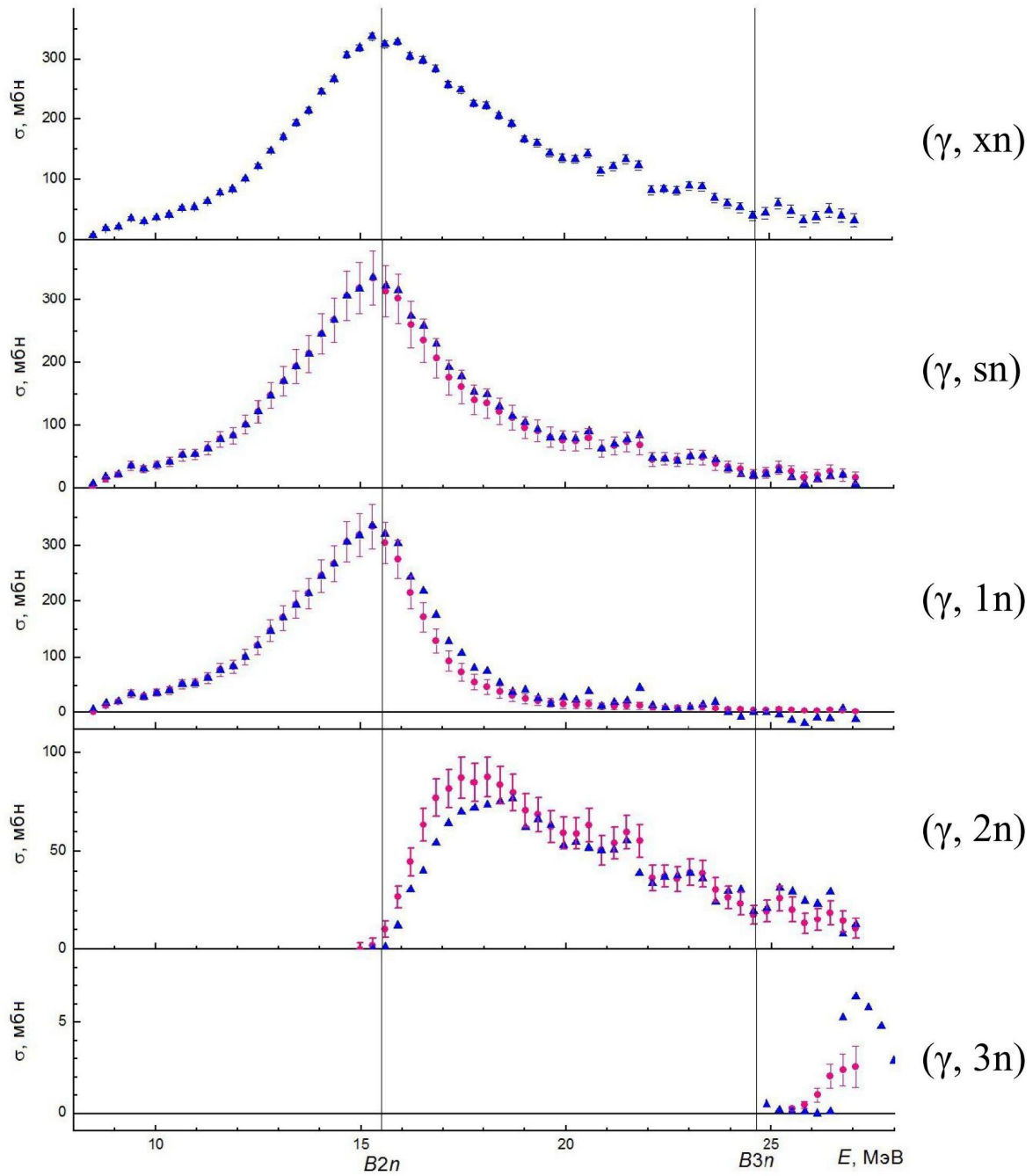


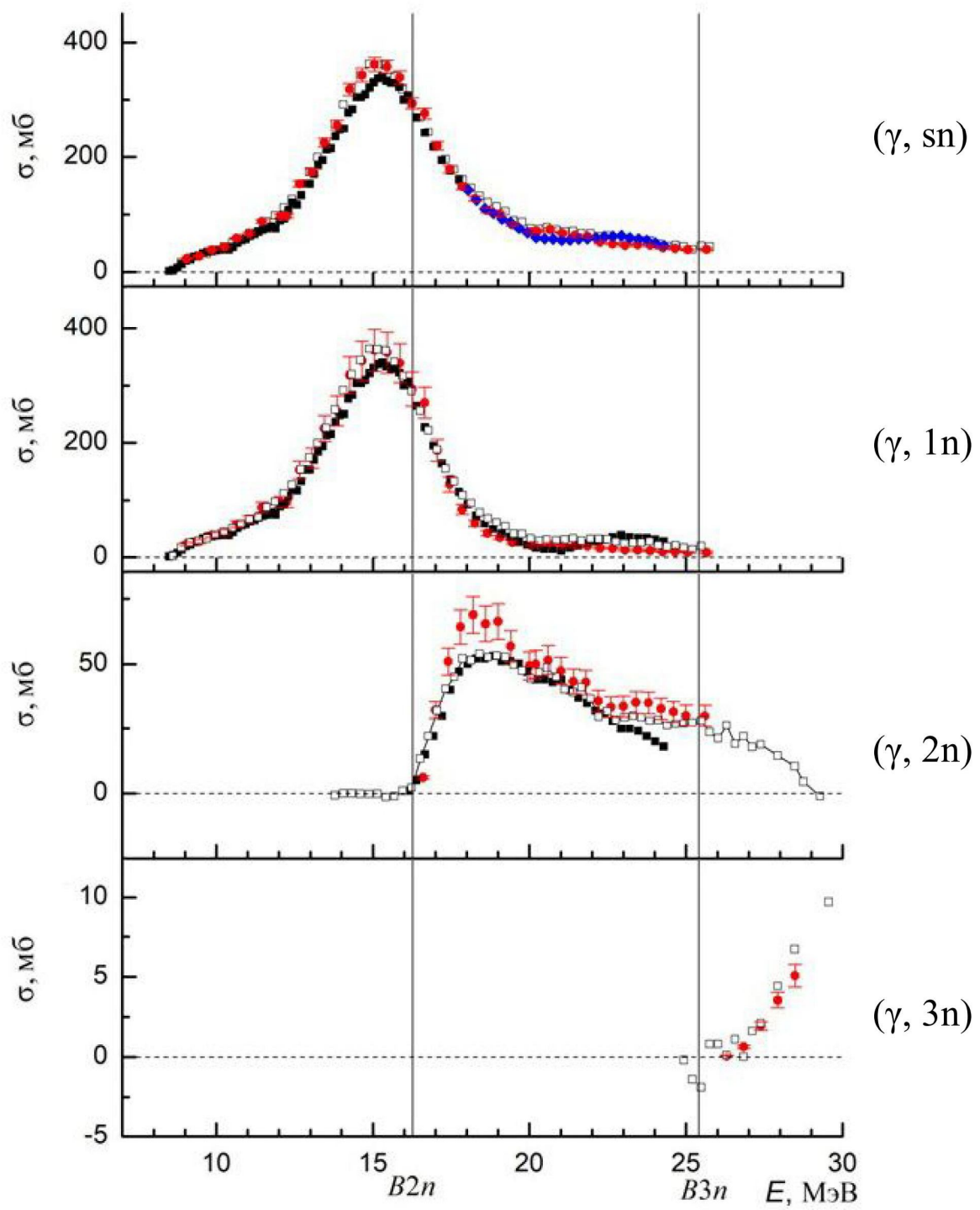
$^{129}_{54}\text{Xe}$



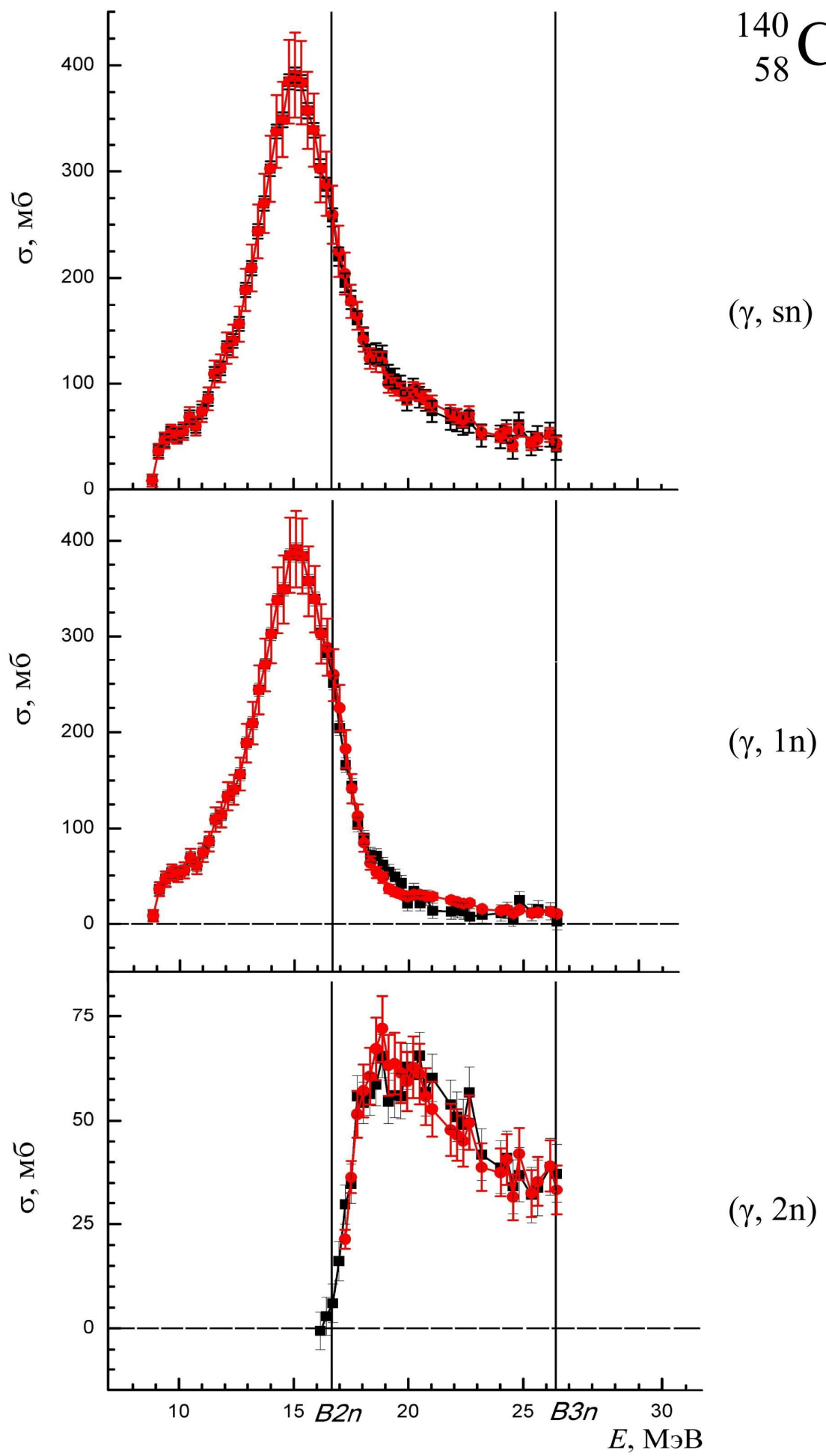


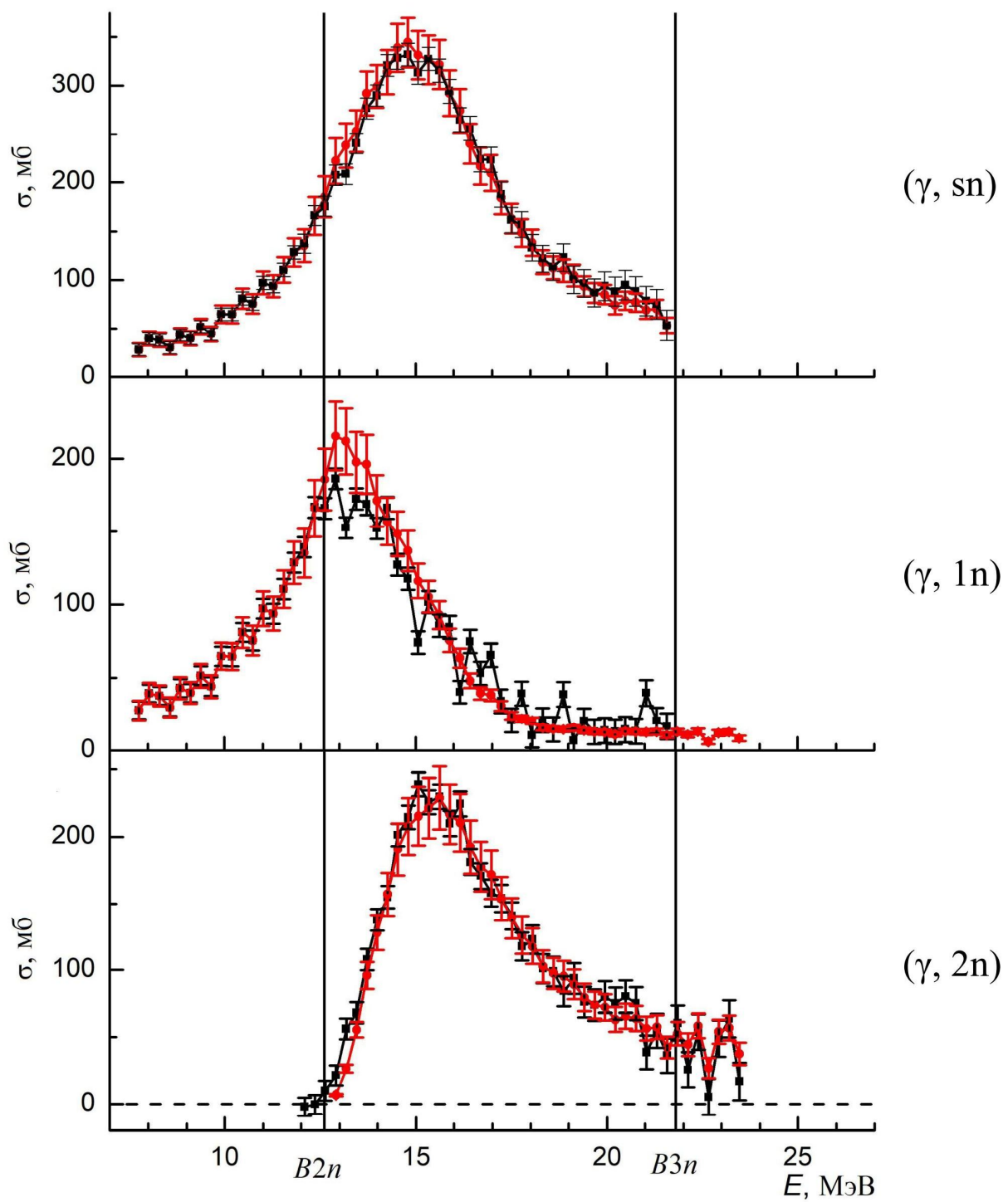
$^{138}_{57}\text{Ba}$

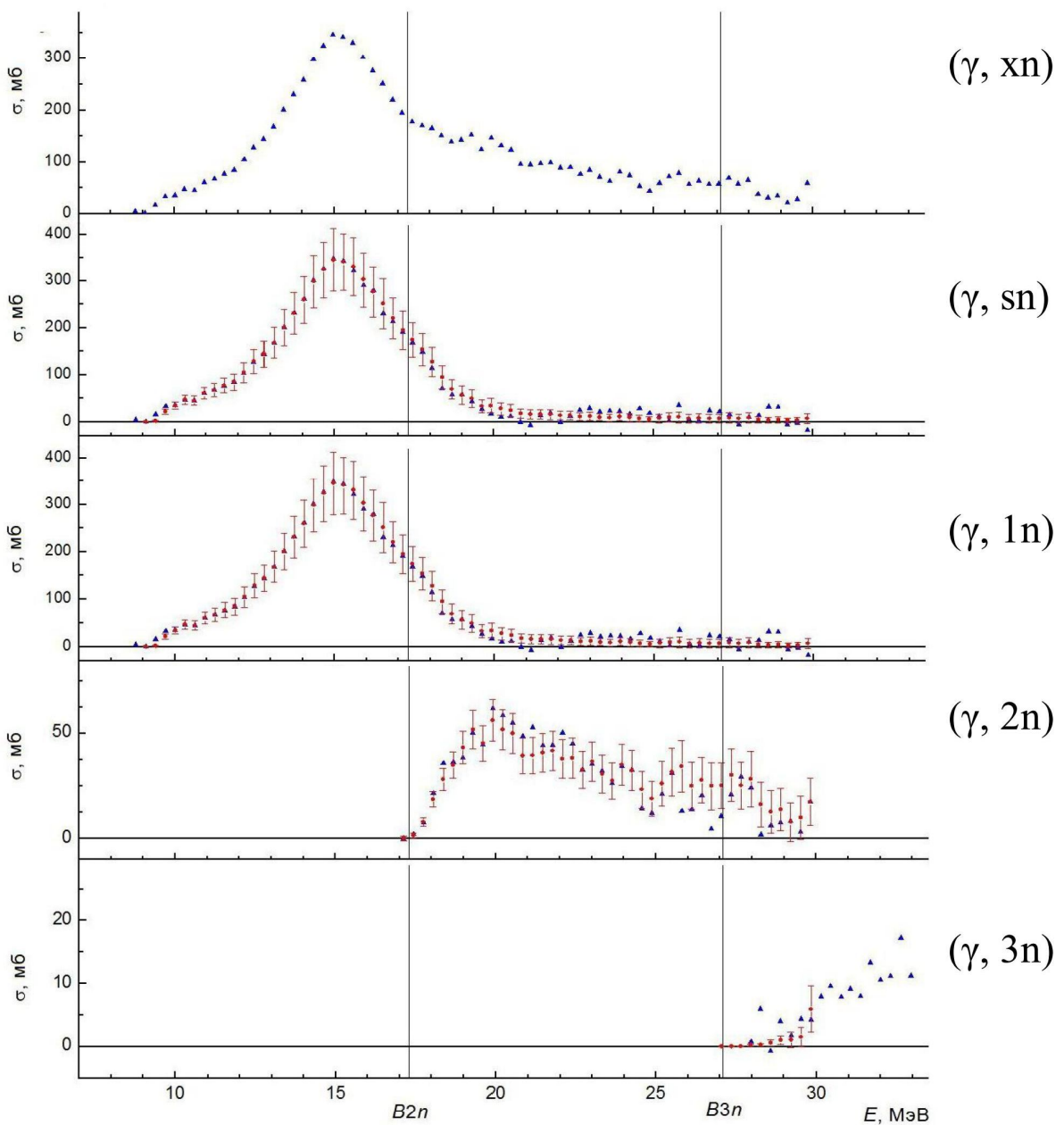




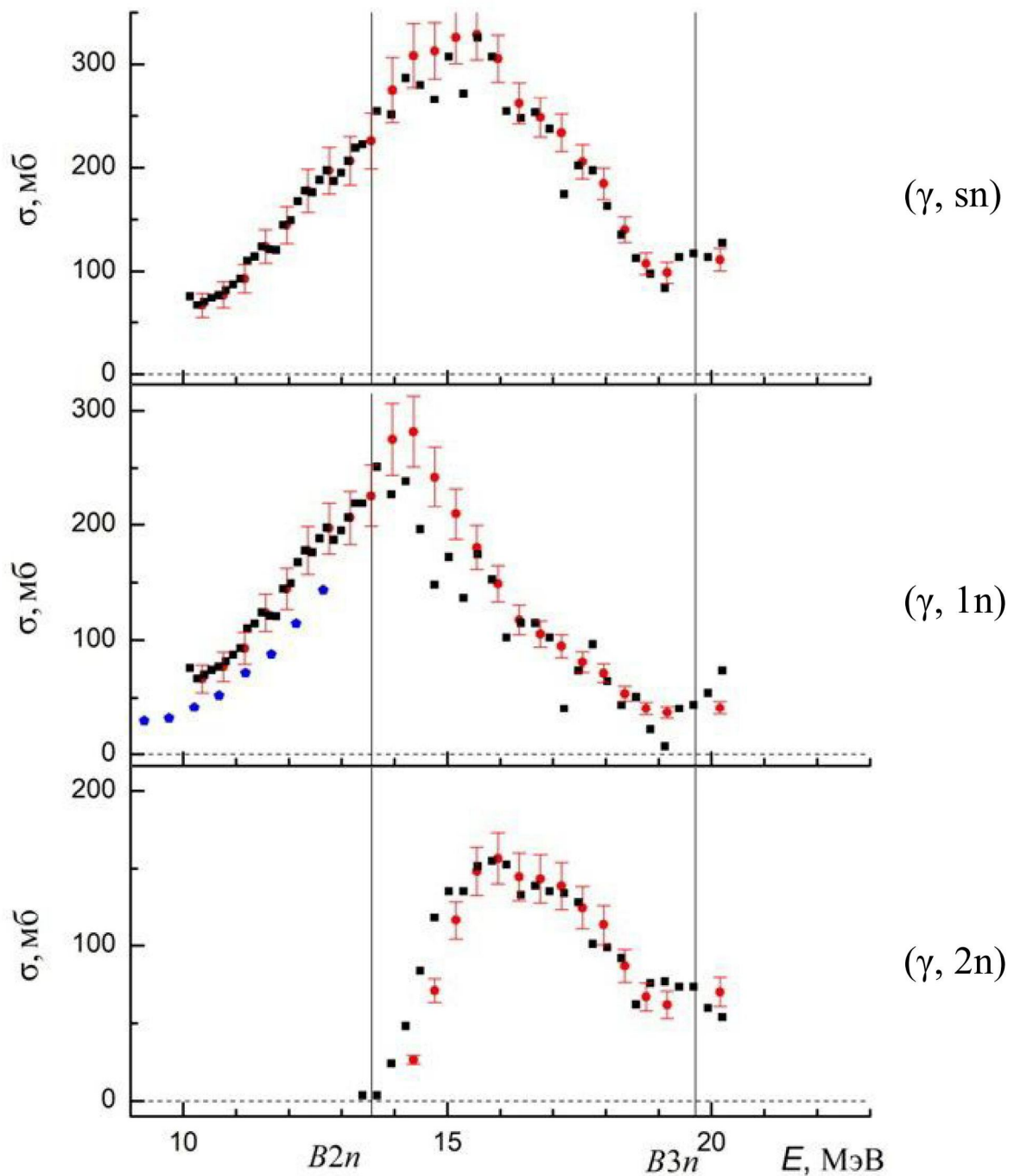
$^{140}_{58}\text{Ce}$



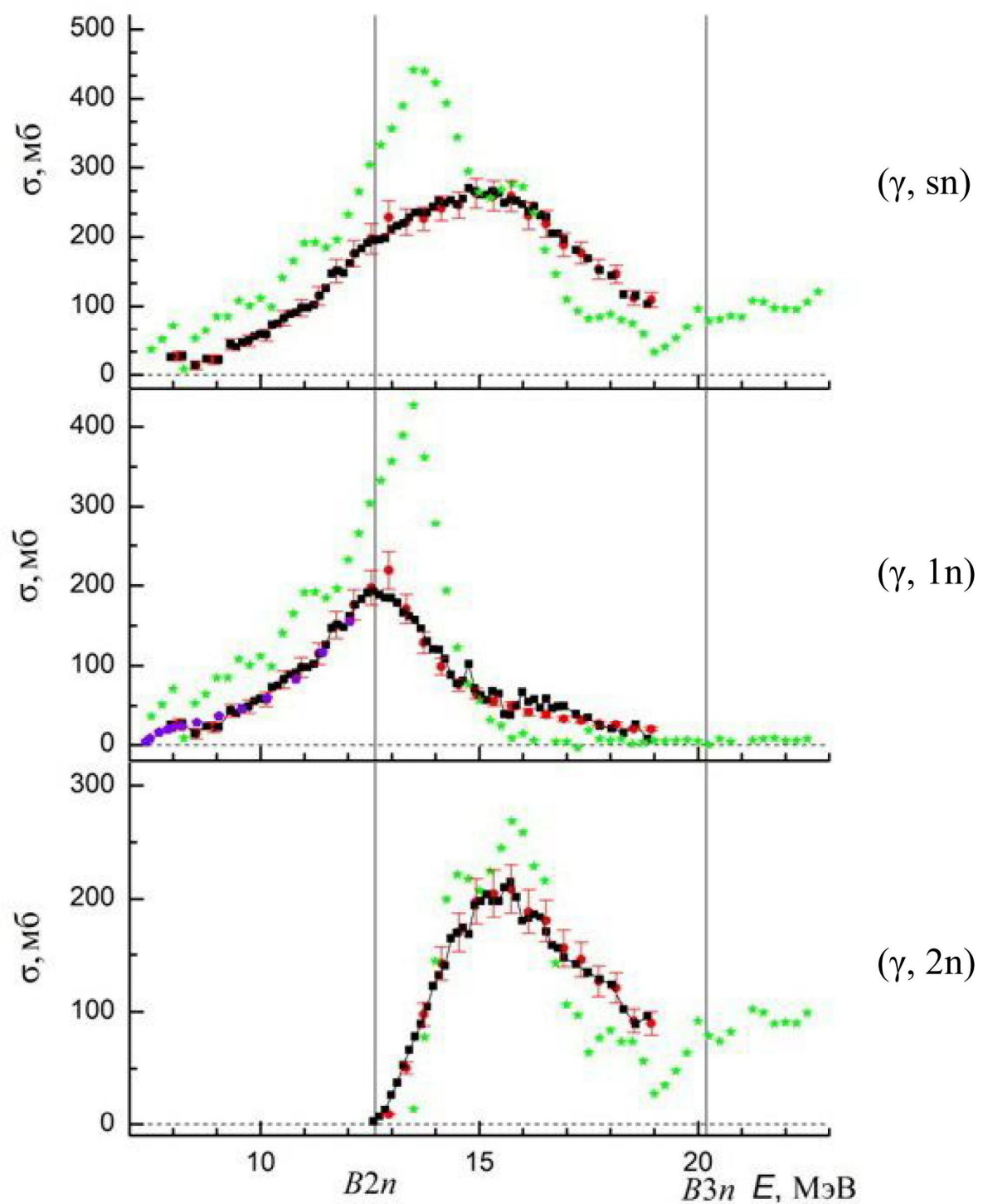


$^{141}_{59}\text{Pr}$ 

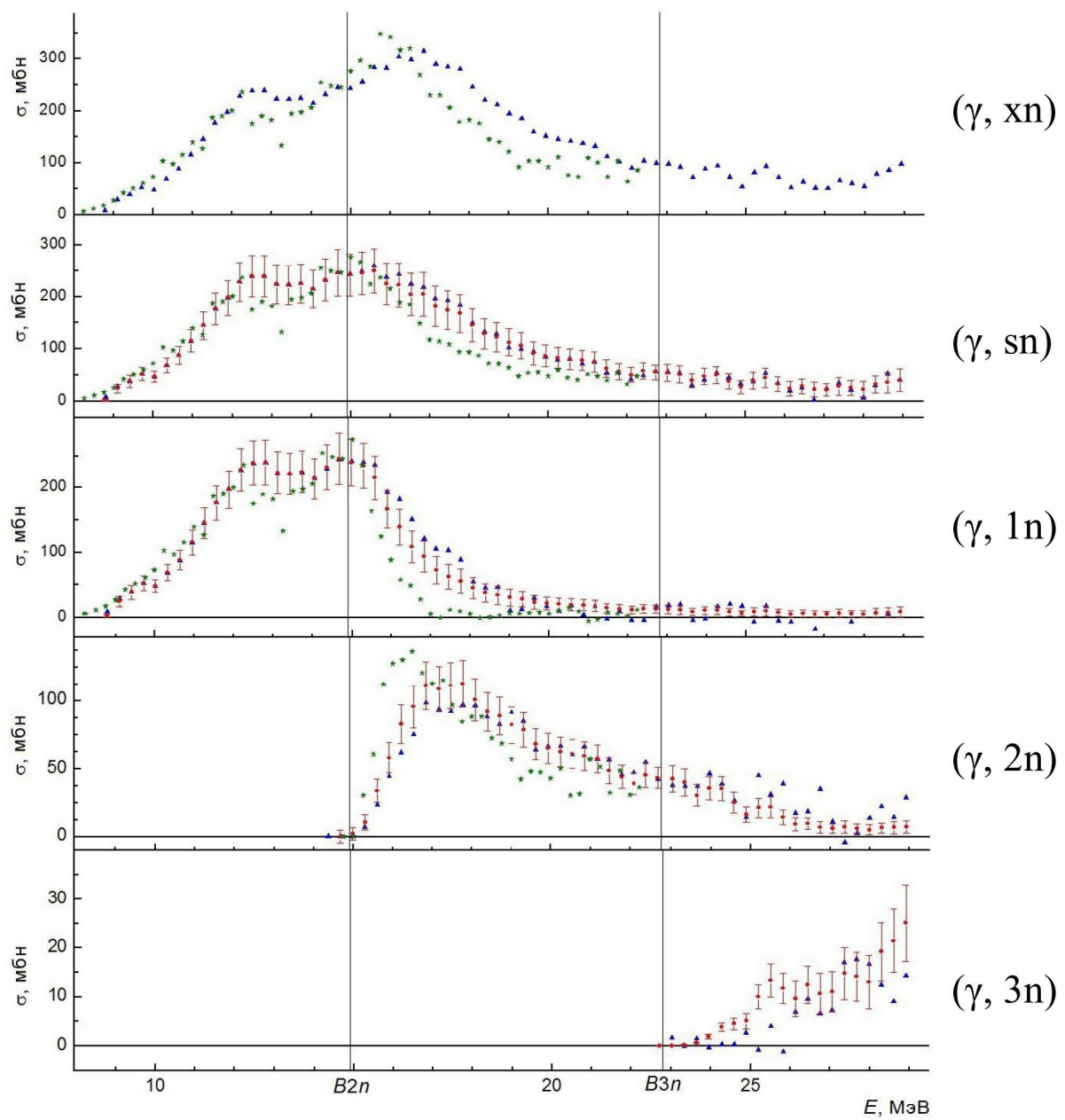
$^{145}_{60}\text{Nd}$

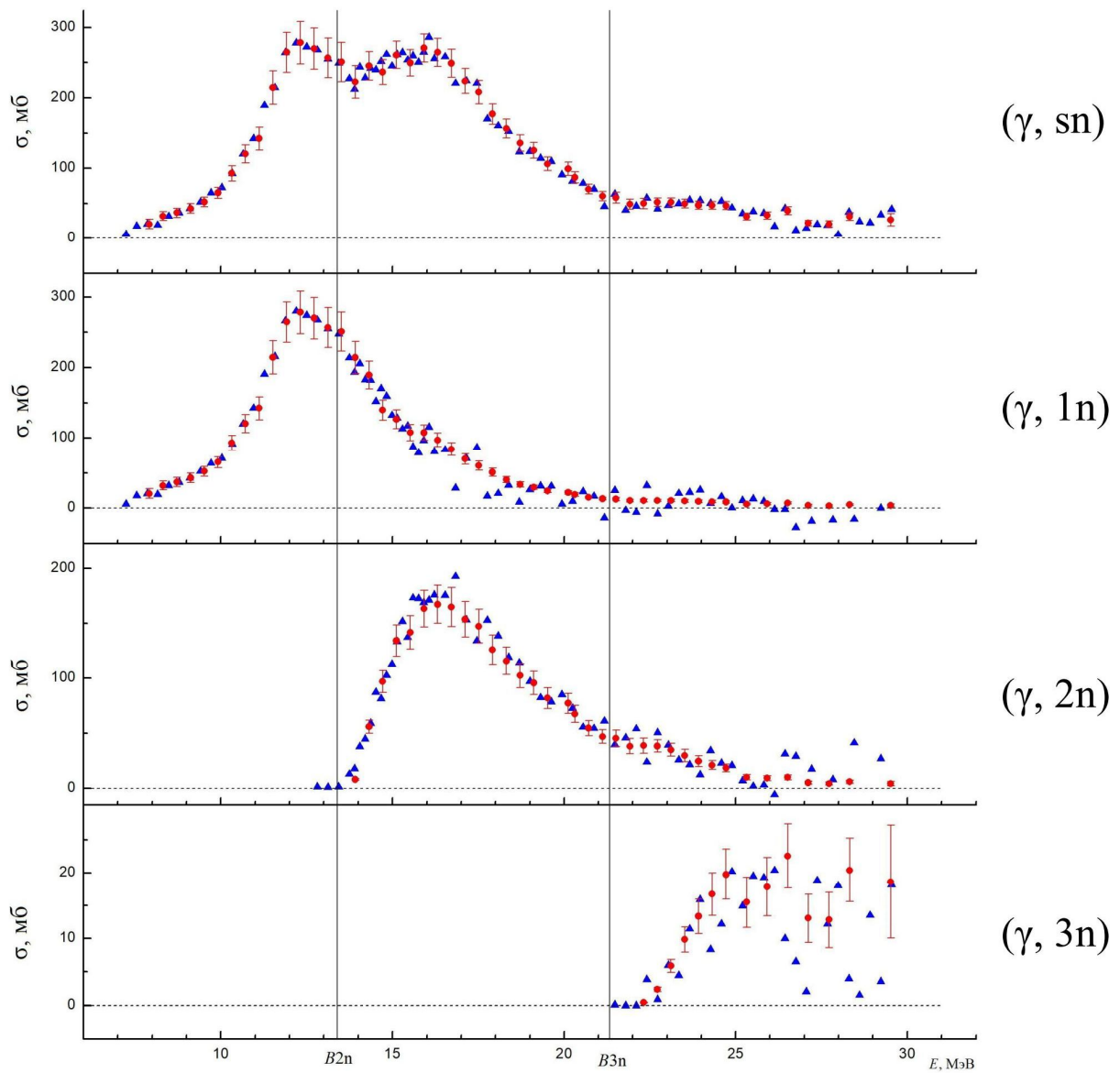


$^{148}_{60}\text{Nd}$

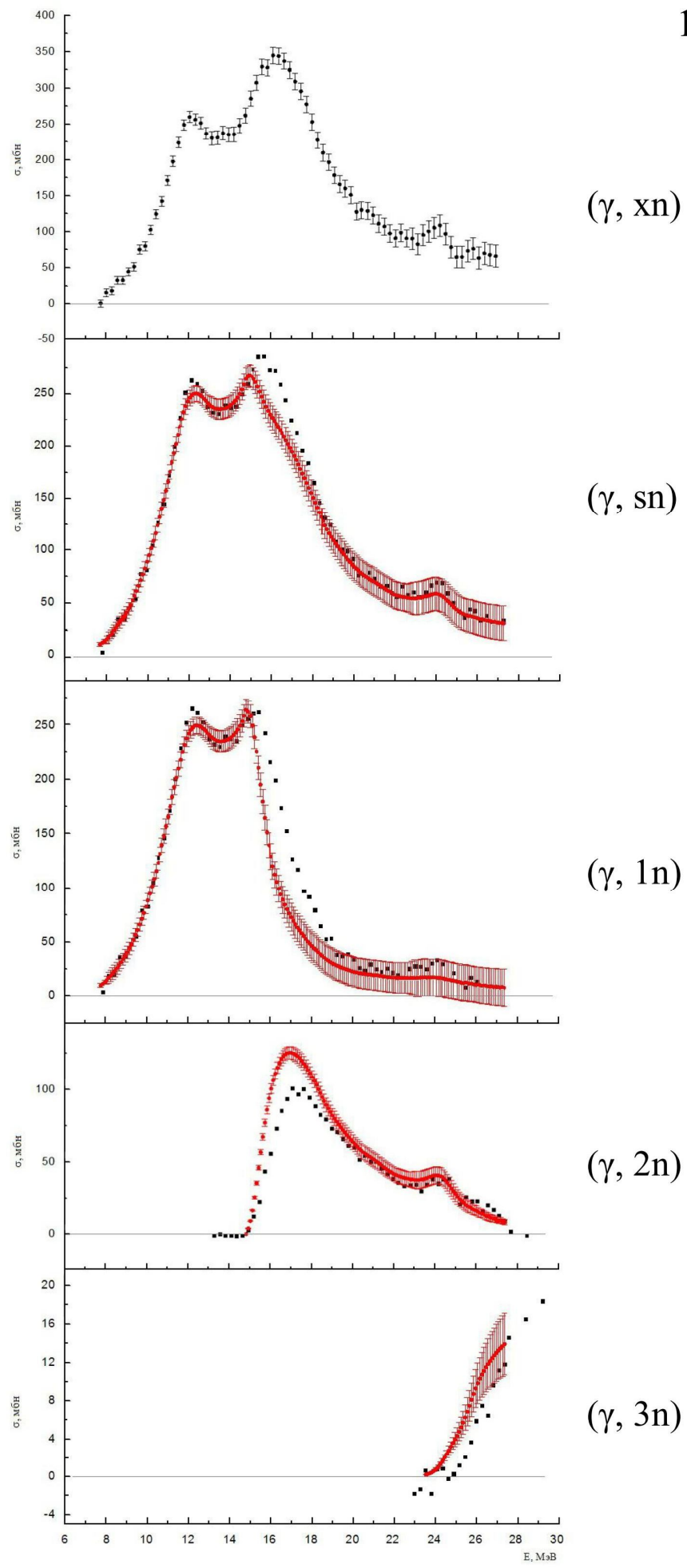


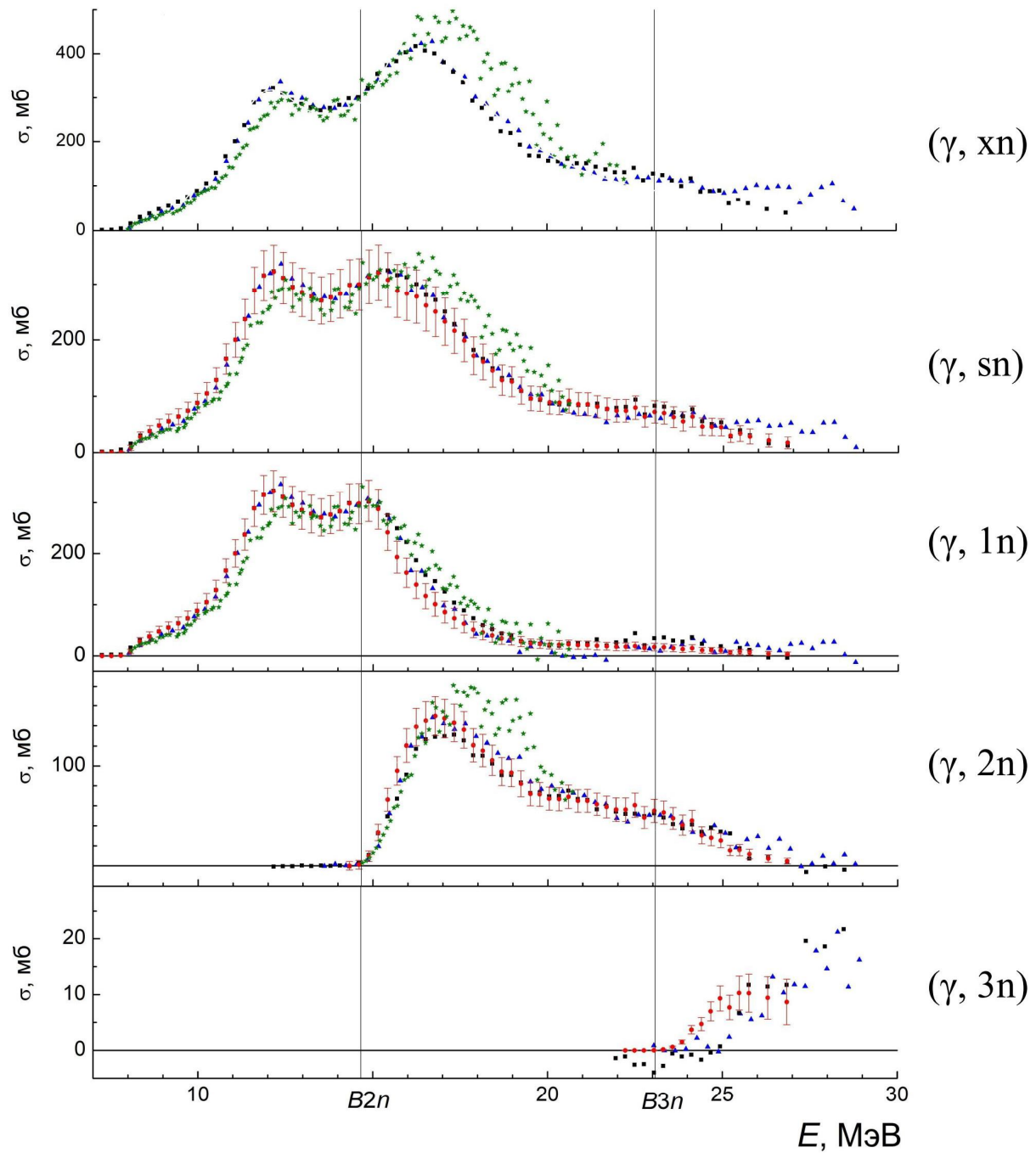
$^{153}_{63}\text{Eu}$

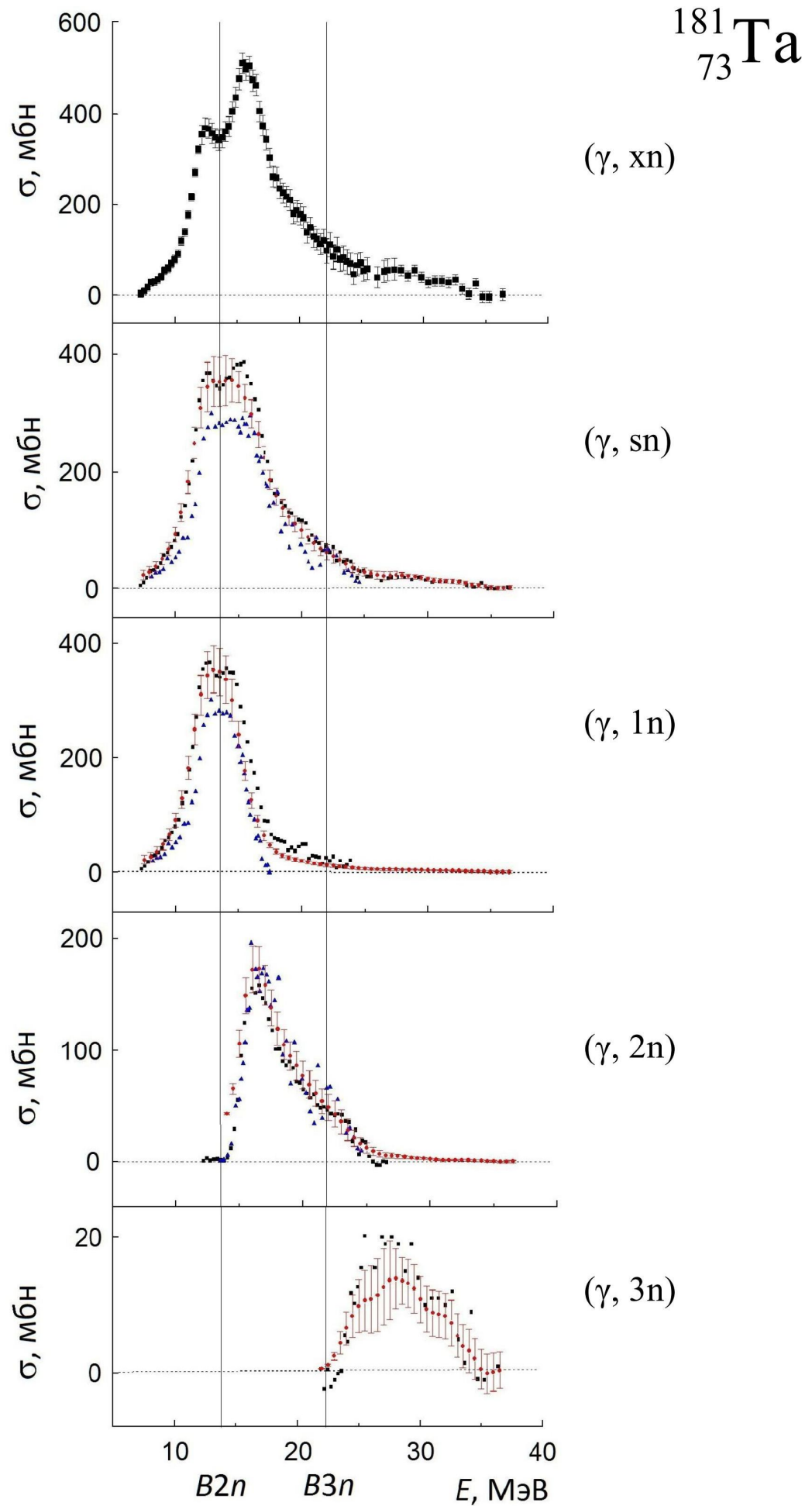


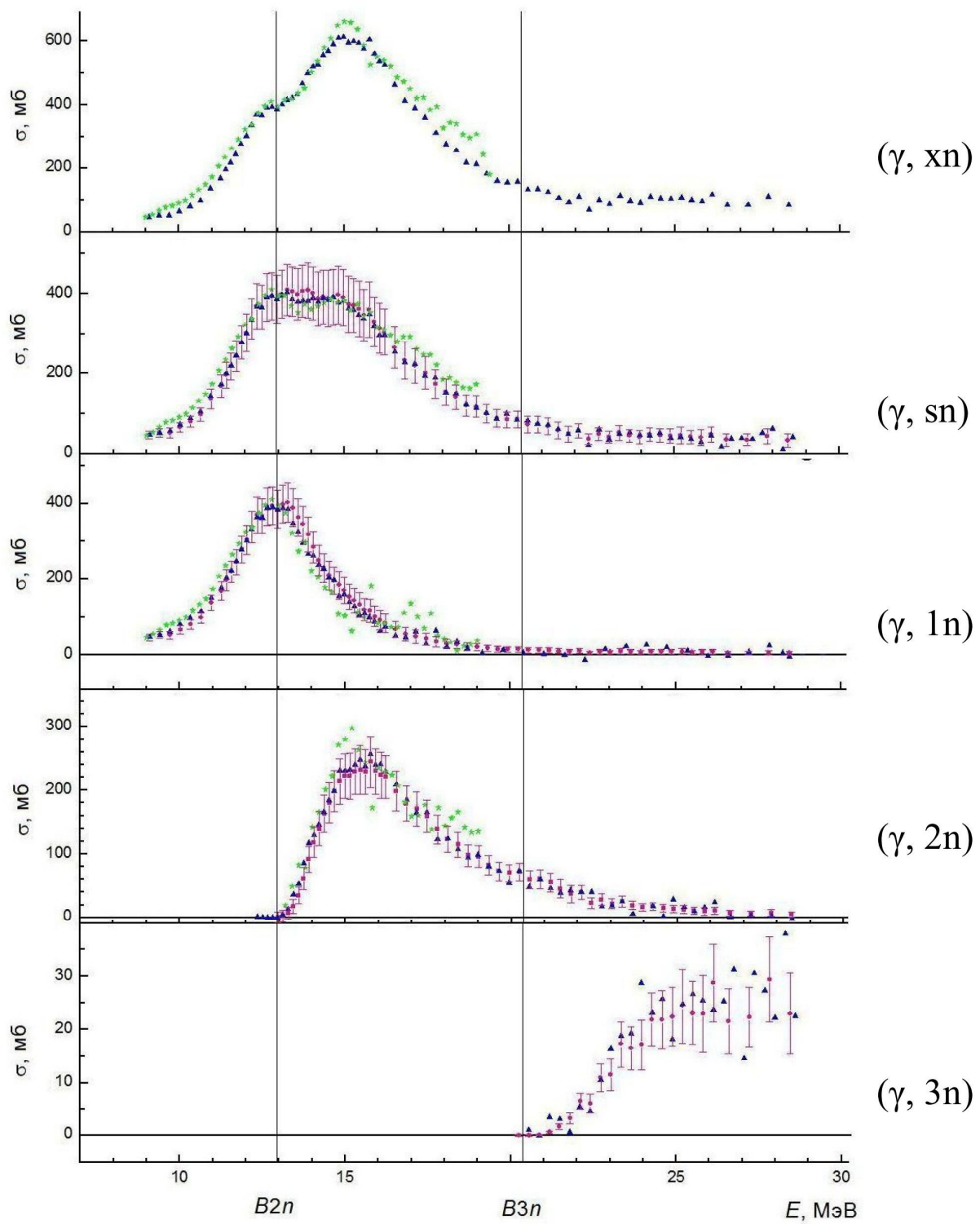
$$^{160}_{64}\text{Gd}$$


$^{159}\text{Tb}$

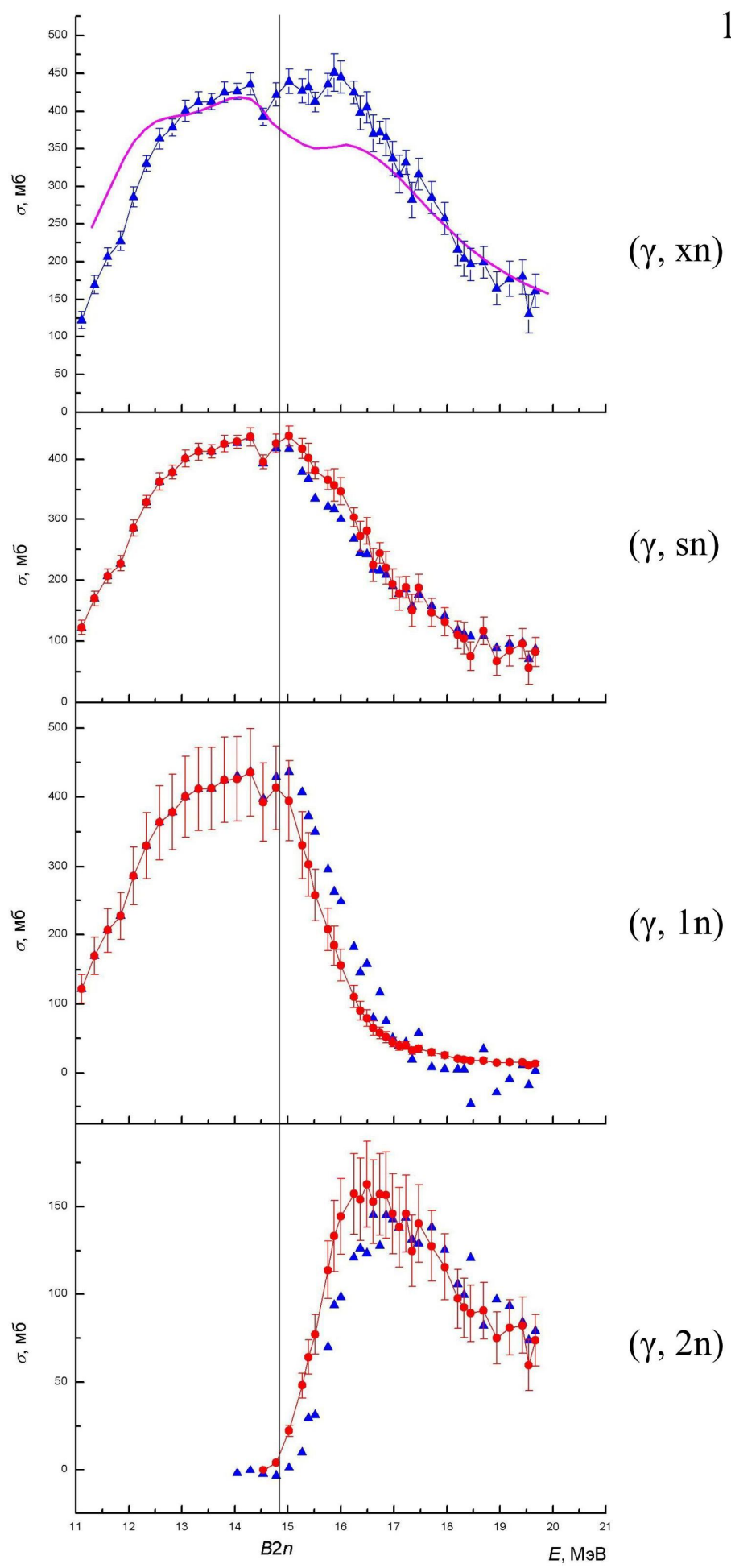


$$^{165}_{\text{67}} \text{Ho}$$


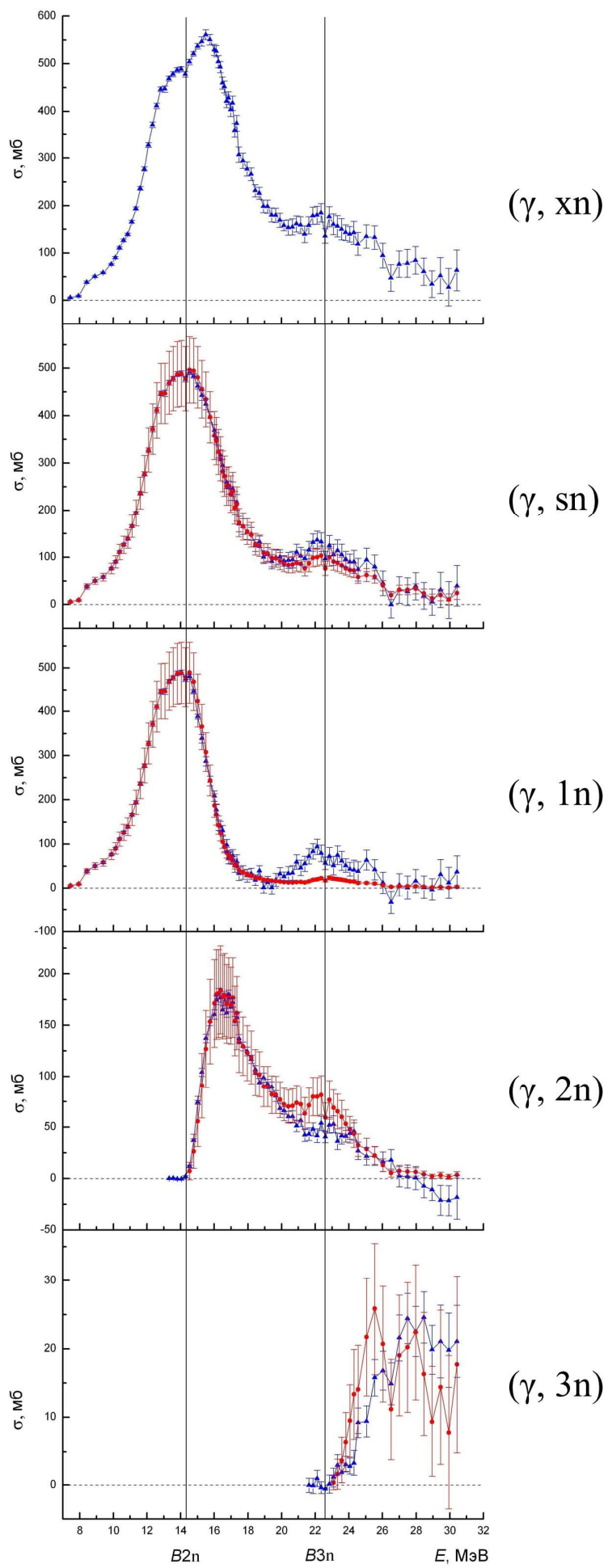




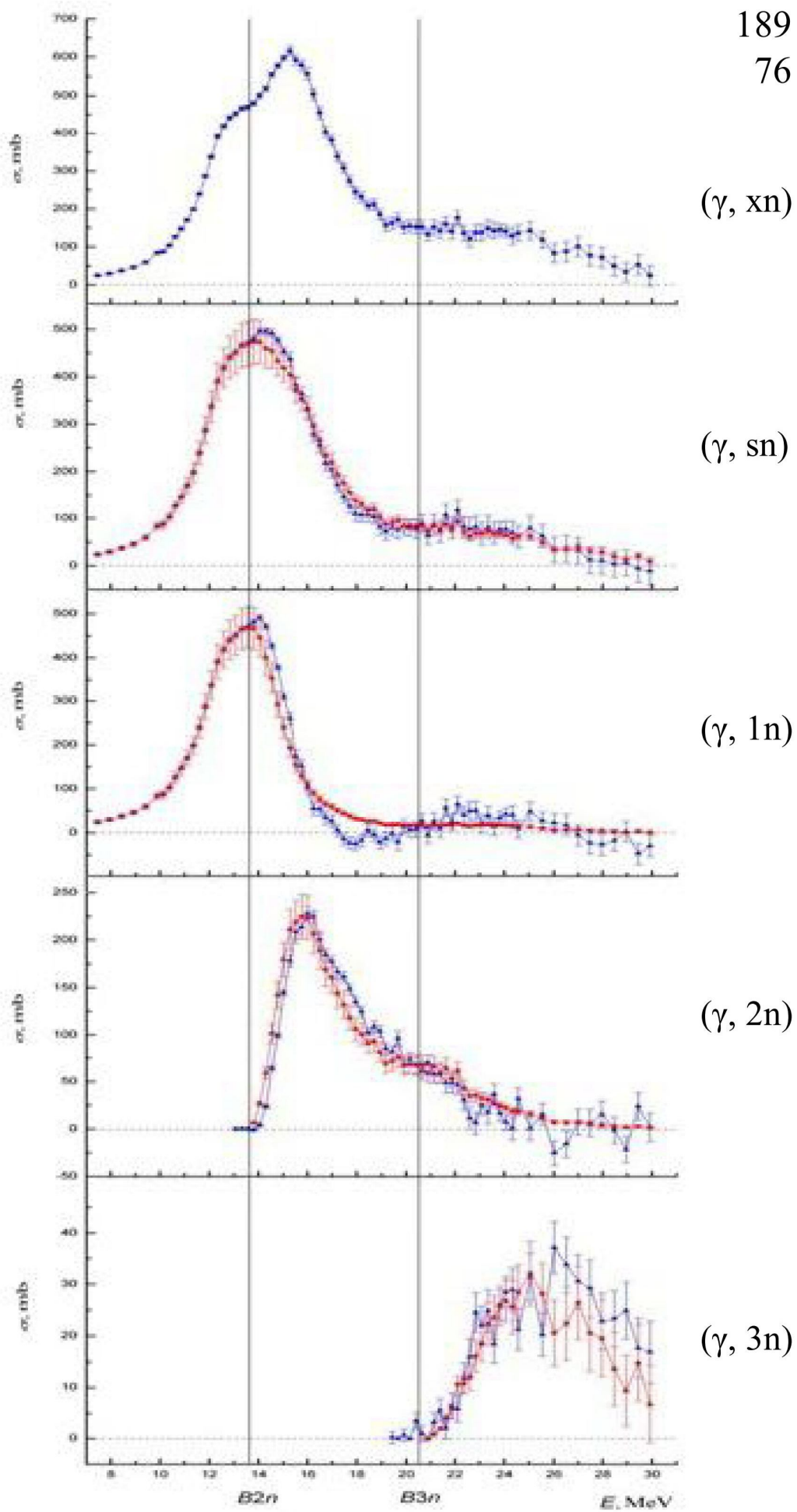
$^{186}_{76}\text{Os}$



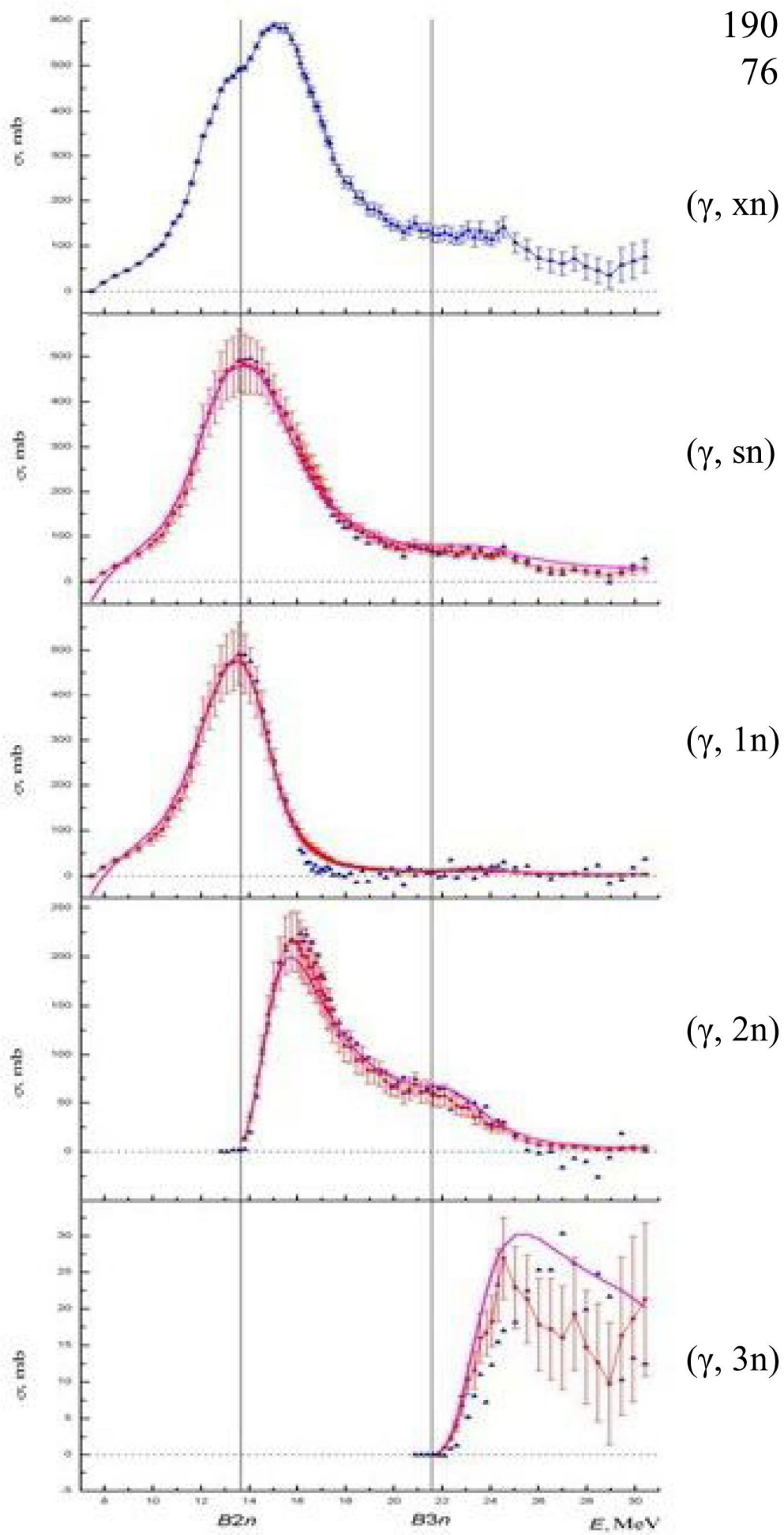
$^{188}_{76}\text{Os}$



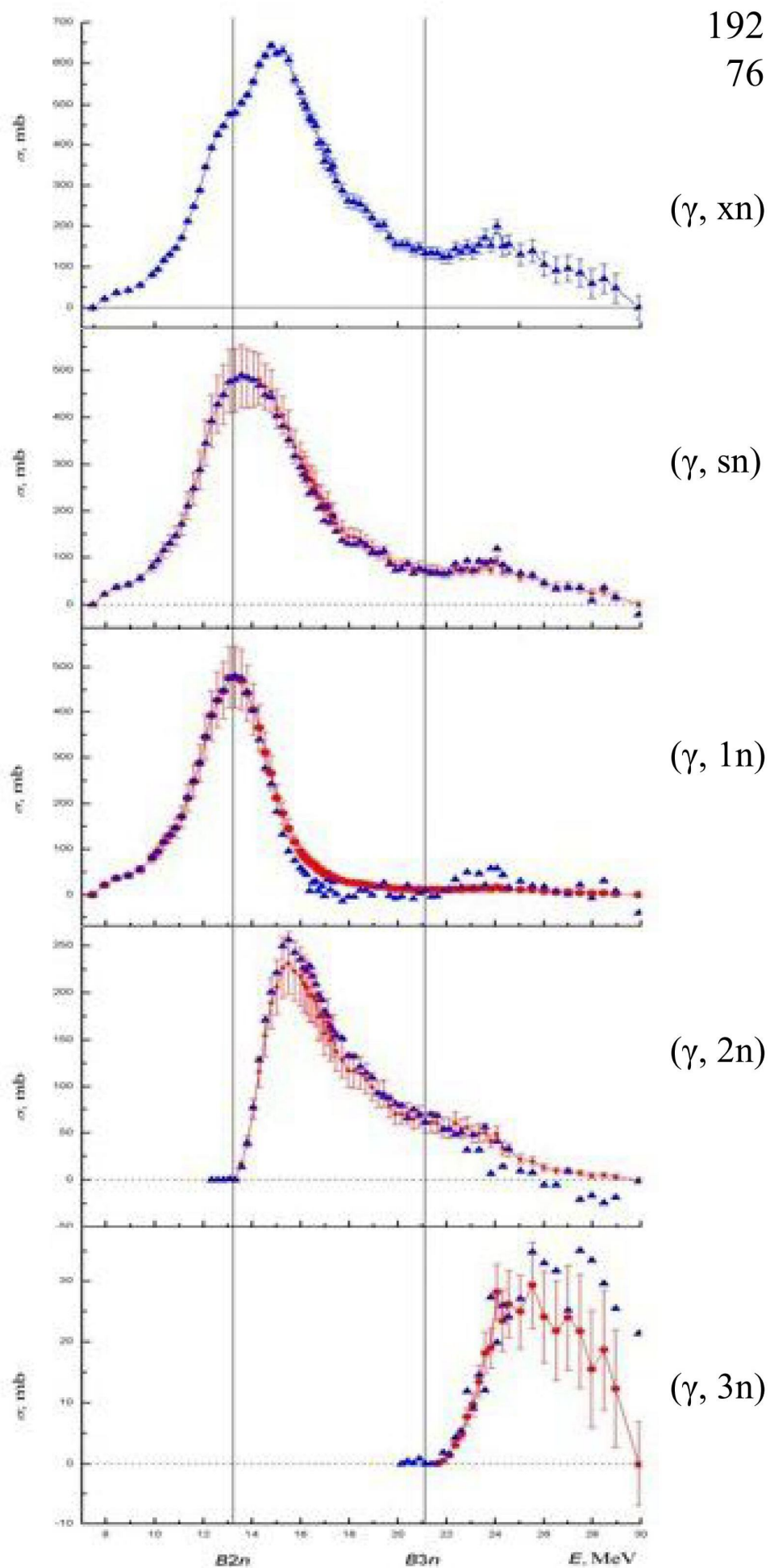
$^{189}_{76}\text{Os}$

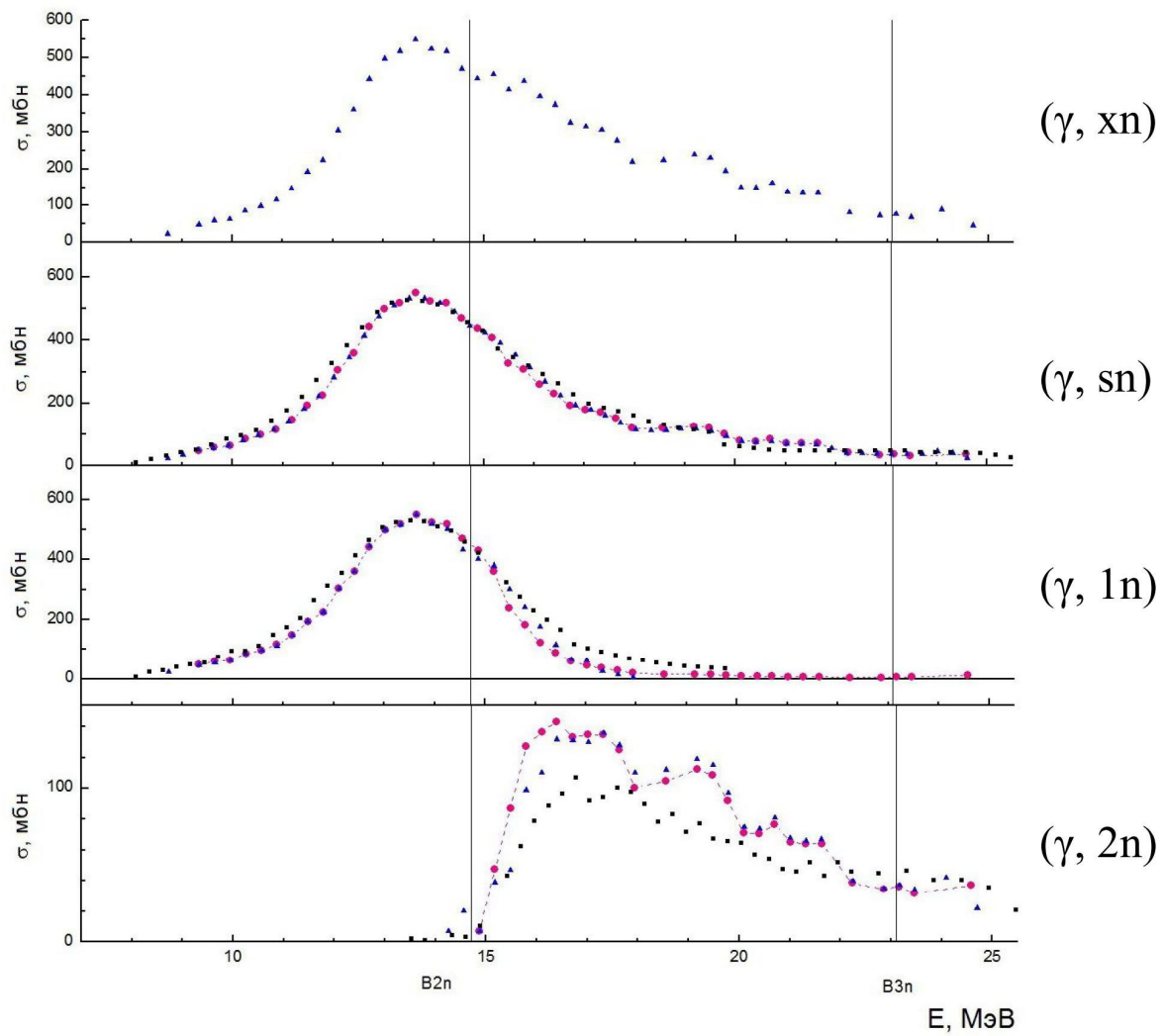


$^{190}_{76}\text{Os}$

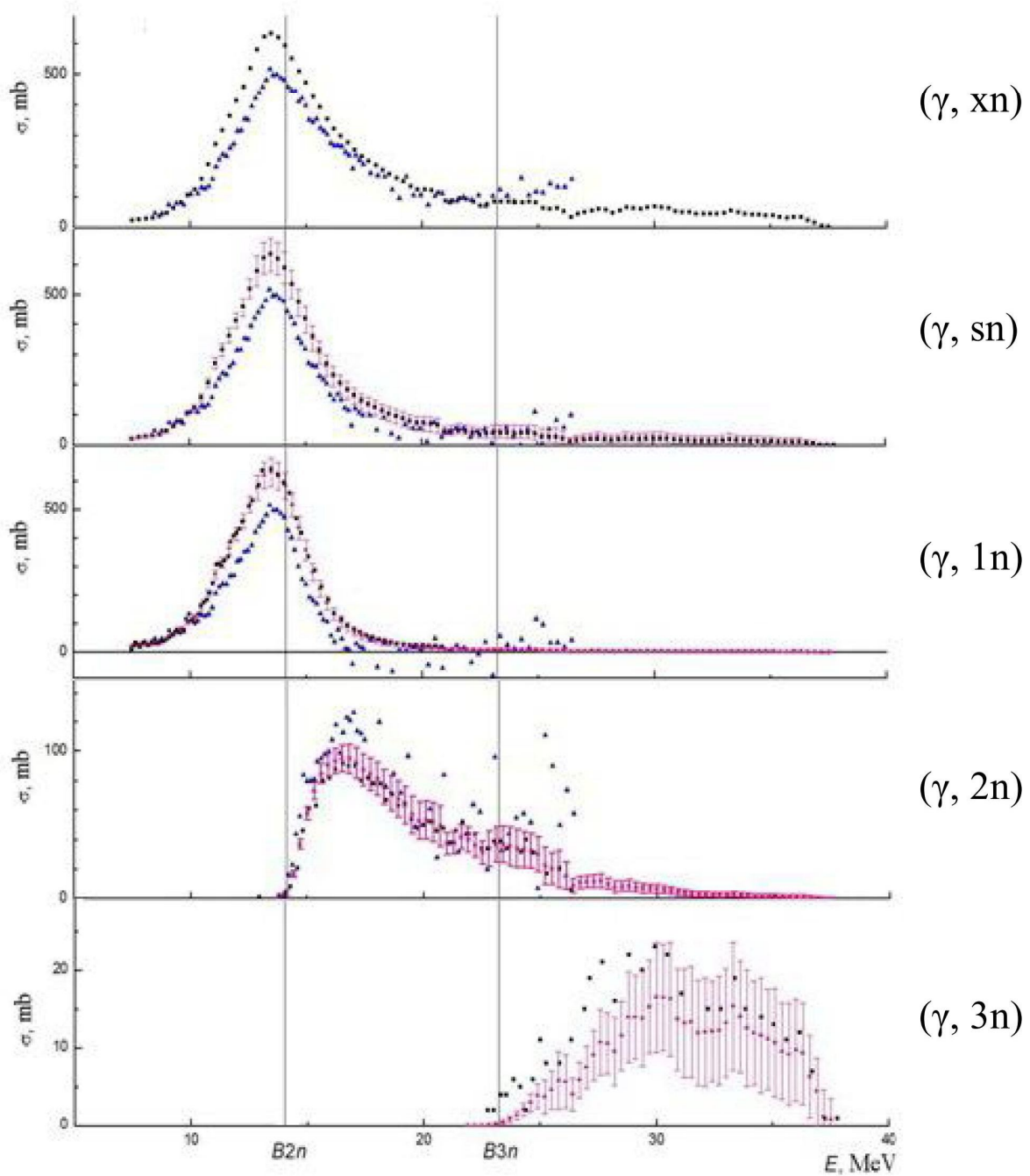


$^{192}_{76}\text{Os}$



$^{197}_{79}\text{Au}$ 

$^{208}_{\text{82}} \text{Pb}$



$$^{209}_{\text{83}} \text{Bi}$$
